

وزارة التعليم والبحث العلمي

MINISTÈRE DE L'ENSEIGNEMENT ET DE LA RECHERCHE SCIENTIFIQUE

Ter

ECOLE NATIONALE POLYTECHNIQUE

DEPARTEMENT D'ELECTRONIQUE



PROJET DE FIN D'ETUDES

S U J E T

ACQUISITION ET TRAITEMENT
DU SIGNAL PHYSIOLOGIQUE
DE LA PRESSION ARTERIELLE

Proposé par :
R. SADOUN

Etudié par :
D. BENMAHDI
A. GOUTAS

Dirigé par :
R. SADOUN

PROMOTION :

JANVIER 86

- TABLE DES MATIERES -

CHAPITRE I :

I- Rappel anatomophysiologique	1
I-1- Système circulatoire	1
I-2- Contraction cardiaque	1
I-3- Modèle électrique équivalent au système sanguin	3
I-4- Procédés de mesure de la tension artérielle	3
- Mesures directes	3
- Mesures indirectes	5
a- Méthodes manuelles	5
b- Méthodes automatiques	5
I-5- Méthodes des oscillations	5
I-6- Etude du signal de pression	5
I-7- Caractéristiques fréquentielles	6

CHAPITRE II :

2-1- Présentation de la chaîne d'acquisition	10
2-2- Méthodes d'extraction	10
2-2-1- Génération de fonction d'opposition	10
2-2-2- Génération d'exponentielle de croissante	11
2-2-3- Simulation du système	12
2-2-4- Génération de courbe par lissage	12
2-2-5- Notion de lissage local	12
2-2-6- Etude du filtrage	15
2-2-7- Etude du filtrage passe bas	15
a- Filtre passe bas 1 ^{er} ordre	16
b- Filtre passe bas 2 ^e ordre	16
b-1- Filtre passe bas à contre réaction multiple	16
b-2- Filtre passe bas à source contrôlée type Sallen et Key	17
2-2-8- Etude du filtre passe haut	17

CHAPITRE III :

3-1- Schéma synoptique de la chaîne d'acquisition	19
3-2- Bloc analogique	19
3-2-1- Le capteur	19
3-2-2- Filtre passe haut	19
3-2-3- Ampli à gain variable	19
3-2-4- Atténuateur	21
3-2-5- Multiplexeur	21
3-3- Bloc numérique	22
3-3-1- Conversion analogique numérique	23
3-4- Présentation de la carte TM 990/189	23
3-4-1- Etude des entrées sorties de la carte TM	24
3-4-1-1- E/S commandées par programme	25
3-4-1-2- E/S contrôlées par interruptions	25
3-4-1-3- E/S par accès directes mémoire	25
3-4-2- Liaisons C/I/N interface extension de bas	25
3-4-3- Extension de bas de la carte TM 990/189	25
3-4-4- Contrôle de l'ADC 804 par la carte	27
3-5- Liaisons carte TM- calculateur hôte	27

CHAPITRE IV :

Detecteur d'enveloppe.

4-1- Structure filtre numérique réalisé.....	39
4-2- Algorithme de traitement du signal physiologique.....	33
4-2-1- Obtention de la dérivée de V.....	34
4-2-2- Méthode des accroissements finis.....	34
4-2-3- Méthode de Taylor.....	34
4-2-4- Méthode de Fourier.....	35
4-3- Déivation du polynôme d'interpolation de Lagrange	35
4-4- Déivation du polynôme d'interpolation de Newton.....	36
4-5- Exemple d'application.....	38

المدرسة الوطنية المتعددة التقنيات
BIBLIOTHEQUE — المكتبة
Ecole Nationale Polytechnique

DEDICACES

المدرسة الوطنية المتعددة التقنيات
BIBLIOTHEQUE —
المكتبة —
Ecole Nationale Polytechnique

A MON PERE
A MA MERE
A MA GRAND MERE
A MES FRERES RYAD ET ABDEREZZAK
A MA SOEUR HADJIBA
A TOUTE MA FAMILLE ET TOUS MES AMIS.

AHCENE

A TOUTE MA FAMILLE
A TOUS MES AMIS

DJAMEL

« Remerciements »

المدرسة الوطنية المتعددة التقنيات
المكتبة —
BIBLIOTHEQUE —
Ecole Nationale Polytechnique

- Nous tenons à remercier notre promoteur : M^e SAADOUN , pour nous avoir épaulé et dirigé tout au long de ce projet .
- Que M^e Aziza , Fatima , Samia Samia , Naïma trouvent ici l'expression de notre profonde gratitude pour la disponibilité dont elles ont toujours fait preuve .
- Que M^e Lies. SADAOUI trouve - en ces lignes l'expression de notre reconnaissance pour l'aide précieuse qu'il nous a apporté .
- Que toutes les personnes qui ont participé à l'élaboration de ce fascicule trouvent ici l'expression de notre profonde reconnaissance .

- INTRODUCTION -



En milieu hospitalier, dans bon nombre de cas pathologique (hypertension, souffle cardiaque, ...) la prise de tension arterielle ainsi que la visualisation du signal physiologique de pression, du sujet, s'avère nécessaire. L'information rapportée est capitale : elle permet de connaître l'état du système cardiaque.

La méthode la plus couramment utilisée pour la détermination des paramètres caractéristiques de la tension arterielle.

(P systolique, P diastolique) est celle de KOROTKOW (avec un brassard gonflable et un stéthoscope). Un problème subsiste cependant : les mesures sont prises de façons subjective (dépendent de l'acuité auditive du manipulateur).

L'automatisation du processus, en prenant comme référence des critères objectifs se fait alors ressentir. Notre travail a donc consiste en la réalisation d'un système répondant à ce besoin.

La simulation, par parties, du système final, à l'aide d'une chaîne d'acquisition évoluée en a facilité la conception pour cela il a fallu prévoir :

- l'extraction du signal physiologique a traité à l'aide d'une carte d'acquisition spécifique,
- la détermination des algorithmes de traitement en vue de leur implantation sur une carte μ -p de bas niveau.

Nous trouverons donc dans le plan de présentation :

- un rappel sur le système cardiovasculaire, les méthodes de mesure de la pression arterielle ainsi que la caractérisation du signal physiologique,
- les différentes méthodes mises en oeuvre (simulées) en vue de l'extraction de la composante physiologique de la pression arterielle : choix de la méthode optimale,
- la présentation de la carte d'acquisition réalisée et de ses connexions avec la carte μ p et le (s) calculateur (s) hôte,
- les différents algorithmes de traitement et choix du plus approprié.

Cette présentation se concluera par les possibilités d'amélioration et orientation du système réalisé.

I- RAPPELS ANATOMO-PHYSIOLOGIQUES (1)

Le cœur organe moteur du système circulatoire fonctionne comme une double pompe à double effet, il fournit la puissance nécessaire au maintien de la circulation du sang dans l'organisme. Il est doté d'automatisme et de contraction non synchrones des parties qui les constituent.

- * Il est constitué de 4 chambres (2 oreillettes et 2 ventricules). L'oreillette et le ventricule communiquent entre eux par le biais des valves auriculo-ventriculaires. (figure 1).

Les ventricules sont eux même en communication avec les gros vaisseaux par l'intermédiaire des valves sigmoïdes (les sigmoïdes pulmonaires pour les côté droit, les sigmoïdes aortiques pour le côté gauche).

Les valves auriculo-ventriculaires et sigmoïdes ont une mobilité passive, leur ouverture et fermeture sont sous la dépendance des variations de pression intra-cavitaires.

I-1. SYSTEME CIRCULATOIRE :

C'est le réseau comprenant les artères, capillaires et veines, ils permettent la canalisation du sang à travers l'organisme. Les artères constituent le système haute pression de distribution du sang vers tout l'organisme. Dans les capillaires se font les échanges de substances. Les veines constituent le système basse pression de ramassage du sang dans l'organisme. (figure 3).

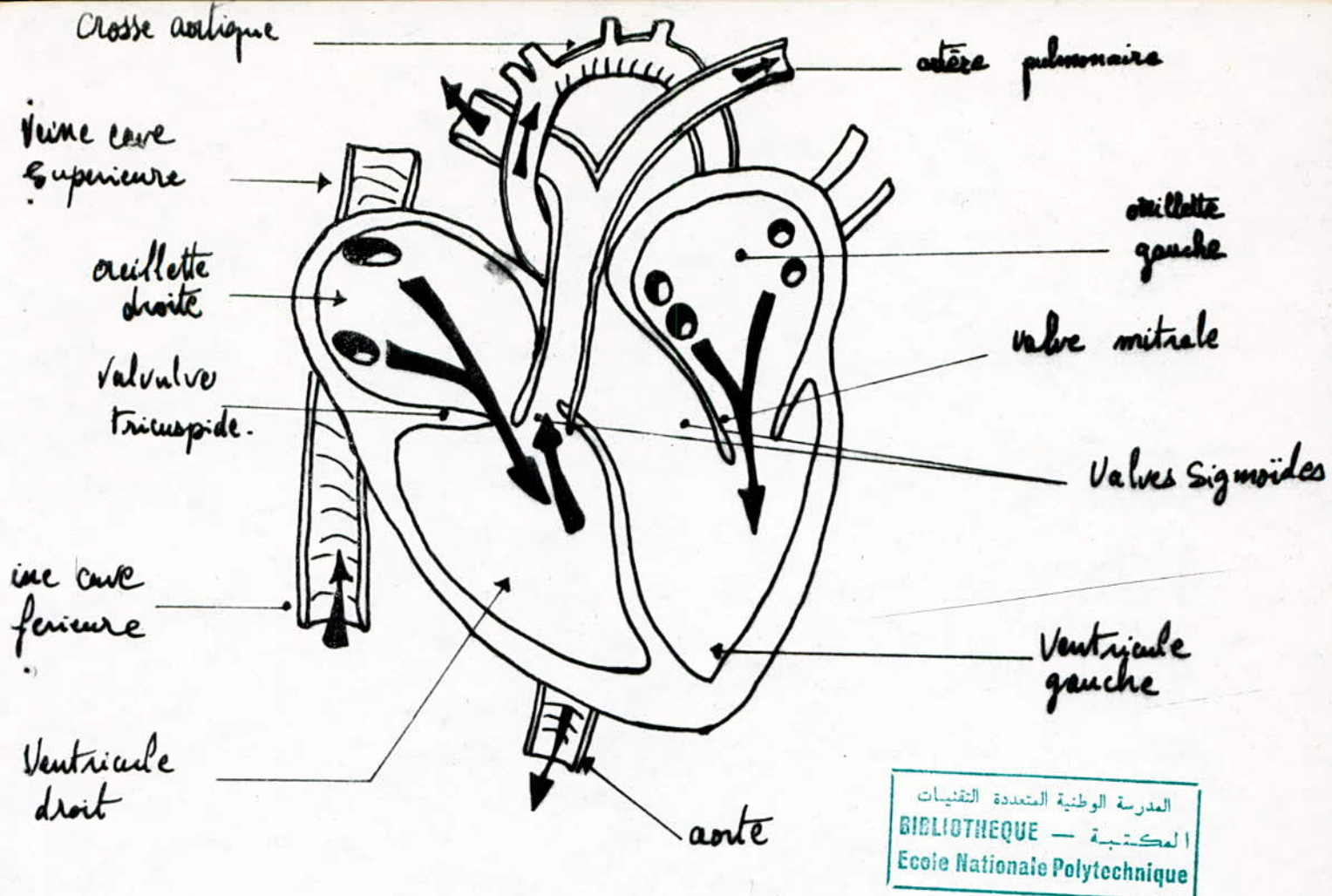
I-2. CONTRACTION CARDIAQUE :

Le cycle cardiaque se déroule en 2 phases :

- une phase de contraction ventriculaire ou "systole". Lors de cette phase, il y a éjection du sang du cœur vers les différentes organes.
- une phase de repos ventriculaire ou "diastole". Lors de cette phase, s'accomplice, le remplissage ventriculaire.
- Ces 2 phases peuvent être subdivisées en plusieurs phases de contraction comme l'illustre la Fig-2.

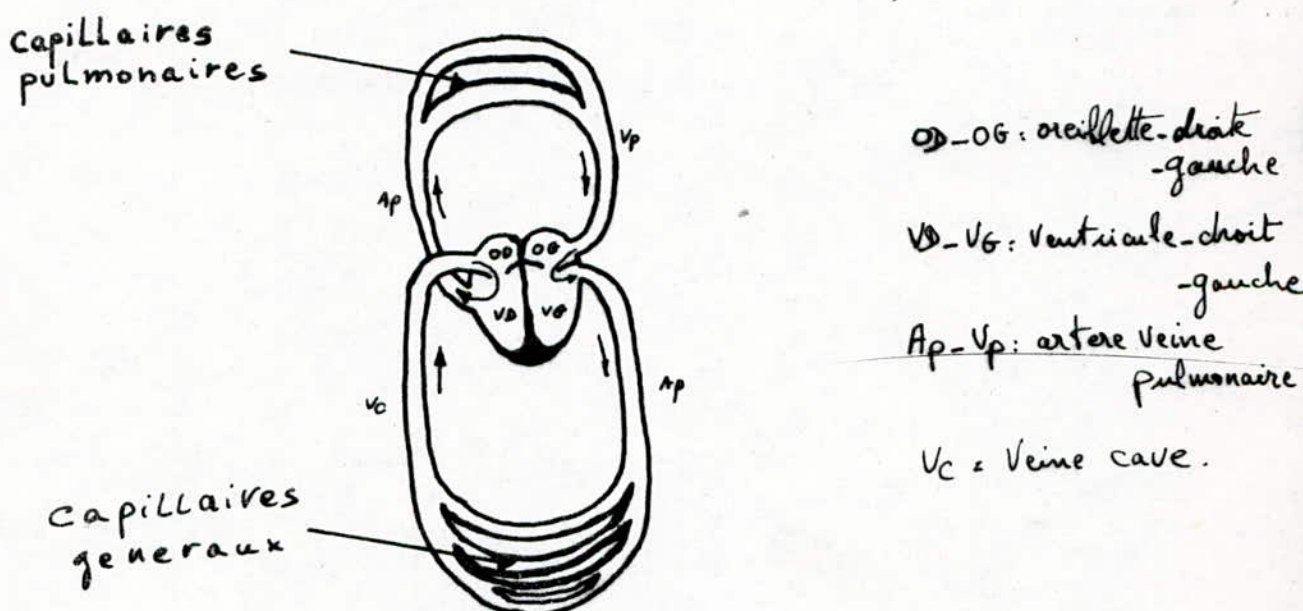
A chaque systole le cœur envoie des accoups périodiques, qui grâce à l'élasticité des parois des grosses artères proche du cœur sont absorbés, puis restitués sous forme d'énergie permettant un débit sanguin continu (effet windkessel).

A chaque battement, il y a création d'une onde de pression dont l'amplitude varie constamment. Elle est maximale en phase d'éjection rapide. Puis, après la fermeture des sigmoïdes (onde dicrote), elle diminue à la manière d'une exponentielle décroissante sans jamais s'annuler, sous l'action de la vidante du réservoir artiel dans l'ensemble des ramifications du réseau. (fig-3).



- figure 1 -

anatomie du cœur -



- figure 3 - circulation Sanguine générale.

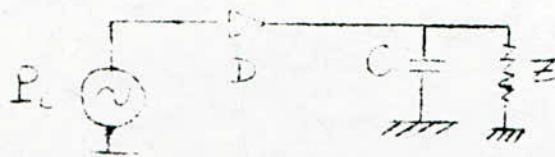
1-3. MODÈLE ÉLECTRIQUE EQUIVALENT DU SYSTÈME SANGUIN : (2)

On peut par analogie déterminer un circuit électrique équivalent au système sanguin où chaque composant serait associé de part ses caractéristiques intrinsèques à un élément caractéristique du système sanguin.

Dans un premier temps, on pourrait schématiser le système sanguin par le circuit électrique de la figure-4.

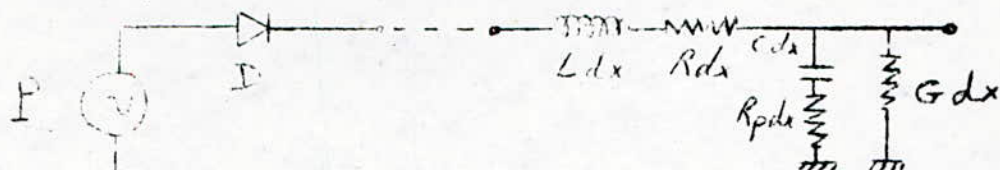
Le cœur est représenté par un générateur de tension P_c . Les valves aortiques, qui ne laisse passer le sang que dans un sens sont représentées par une diode D .

L'artère qui constitue le réservoir sanguin sera caractérisé une capacité en parallèle. Le reste du système est représenté par une impédance Z .



- figure 4 -

On pourrait compléter le schéma en détaillant les différents paramètres à l'origine de la résistance hémodynamique. Le schéma équivalent par unité de vaisseaux serait :



Le self-service correspond à l'inertie de la masse sanguine. La résistance série correspond aux pertes par frottement dans le liquide. L'extensibilité des vaisseaux intervient sous la forme d'une capacité C et les frottements sur la paroi sous forme d'une résistance R_p . la circulation dérivée est symbolisée par une induction G .

1.4. PROCÉDÉS DE MESURE DE LA TENSION ARTERIELLE :

Il en existe, deux, à savoir :

-MESURES DIRECTES :

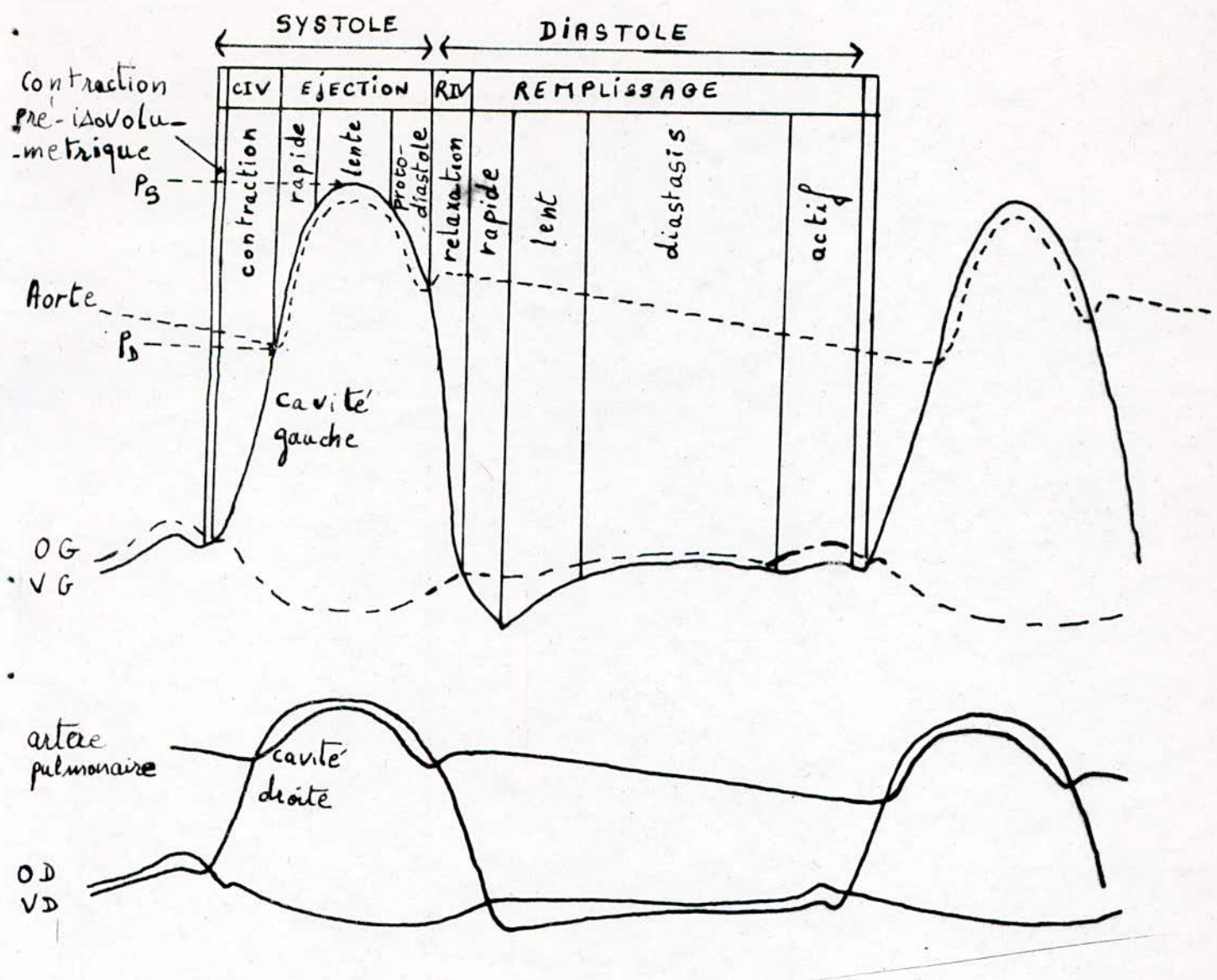
Elle donne la valeur instantanée de la pression artérielle, cependant leur mise en place est traumatisante du fait quelle nécessite l'introduction d'un cathéter dans un vaisseau ou dans le cœur.

-MESURES INDIRECTES :

Il existe deux types de méthodes : les méthodes manuelles et les méthodes automatiques.

Le principe de base employé dans ces 2 méthodes est le même. On utilise un brassard contenant une chambre à air gonflable reliée à une poire et à un manomètre. La pression, établie dans le brassard vient comprimer l'artère numérique avec une pression suprasystolique.

.../...



-figure 8- phases de contraction cardiaque :

P_s = Pression systolique

P_d = Pression diastolique

a- MÉTHODES MANUELLES

Lors du dégonflage progressif, un certain nombre de phénomènes peuvent être observés et servir de critères de référence pour la détermination des valeurs caractéristiques de la pression artérielle.

- Les méthodes se différencient par les phénomènes pris en compte. Nous aurons donc :
 - Les méthodes palpatoires : avec tachement du pouls.
 - Les méthodes ausculatoires : avec repérage des bruits au niveau de l'artère humérale ; ceci à l'aide d'un stéthoscope.
 - Méthode des oscillations : avec observation de l'amplitude des oscillations de l'aiguille de l'oscillomètre de PACHON.

b- MÉTHODES AUTOMATIQUES :

Elles permettent de minimiser la perturbation apportée par l'opérateur sur la validité de la mesure. Parmi ces méthodes, on notera :

- Les méthodes plethysmographiques : elles nécessitent l'utilisation de capteurs au niveau du bras qui détectent les variations de volume des artères après chaque pulsation cardiaque.
- Les méthodes velocimétriques : elles utilisent les ultrasons et l'effet DOPPLER.
Parmi ces méthodes, celle que nous avons choisi, du fait de sa facilité de mise en œuvre et de la bonne précision qu'elle offre [2], est la méthode oscillométrique.

1-5. MÉTHODE DES OSCILLATIONS :

A l'aide d'un brassard, on applique une contre-pression suprasystolique sur le bras au niveau de l'artère humérale. On dégonfle progressivement le brassard. A l'aide d'un manomètre de grande sensibilité, on observe l'apparition d'un mouvement d'oscillation de l'aiguille lorsque la pression dans le brassard devient égale à la pression systolique. L'amplitude de ces oscillations augmente avec la chute de pression dans le brassard. Elles passent par un maximum lorsque la pression dans le brassard est égale à la pression moyenne.

Le dégonflage se poursuivant, l'amplitude des oscillations décroît. Cette décroissance s'interrompt lorsque la pression dans le brassard devient égale à la pression diastolique. Les oscillations subsistant dans le brassard pour P_B inférieur à P_D sont dues aux variations de volume des artères conséquence à la pulsabilité de l'écoulement sanguin. (P_B = Pression dans le brassard)

(P_D = Pression diastolique).

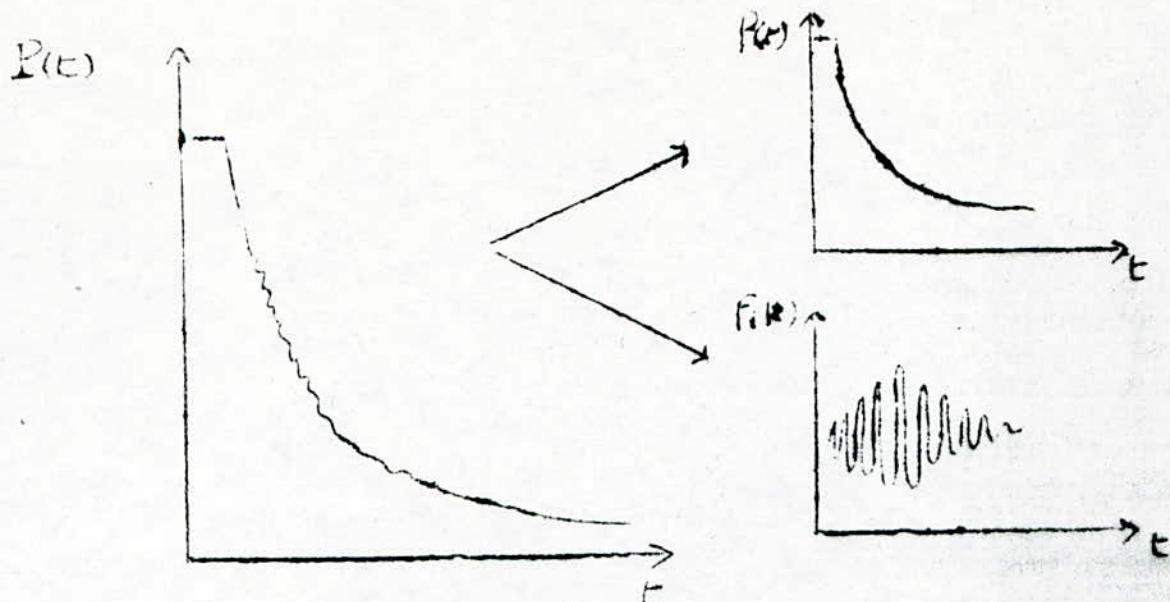
1-6. ÉTUDE DU SIGNAL DE PRESSION :

Le signal de pression prélevé à la sortie du capteur est constitué de la superposition de deux signaux d'origines différentes.

Soit le signal de pression reçueilli à la sortie du capteur $P(T)$.

$$P(T) = p(t) + f_i(t)$$

.../...



- $p(t)$ est la composante pneumatique correspondant à la pression établie dans le brassard (en ne considérant pas l'activité cardiaque du sujet). Sa dynamique d'amplitude s'étend de 0 à 320 mmHg, dans le cas d'un dégonflage continu, avec une fuite constante, la courbe $p(t)$ prend l'allure d'une exponentielle décroissante.

- $f_i(t)$ correspond à la composante physiologique, caractérisant l'activité cardiaque du sujet. Elle est constituée d'une série d'oscillations dont l'amplitude varie en fonction de la pression dans le brassard. C'est un phénomène périodique, d'amplitude relativement faible (de l'ordre du mmHg) qui se superpose à la composante pneumatique $p(t)$.

La forme de l'enveloppe du signal physiologique est directement reliée au mode de dégonflage. Plus le dégonflage est rapide plus l'enveloppe présentera un pic élevé moins on aura d'informations autour de ce pic puisque le phénomène apparaît et disparaît très vite. Il faut pour pouvoir observer $f_i(t)$ dans les meilleures conditions, trouver une fuite adéquate de façon à avoir une enveloppe avec un maximum d'informations.

I-7. CARACTERISTIQUES FREQUENTIELLES :

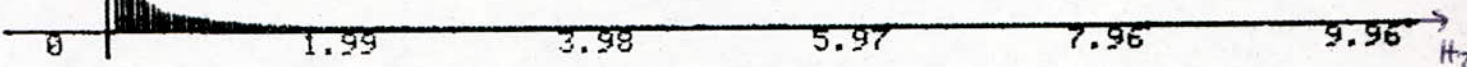
-Le spectre de fréquences de la composante pneumatique $p(t)$ est contenu, dans le cas d'un dégonflage moyen (avec une constante de temps = 3,5 s), sur une plage $0 \leq f \leq 1$ Hz. Plus le dégonflage est lent, plus le spectre se resserre autour de la composante continue. Plus il est rapide, plus le spectre s'étend, ceci étant à la création d'harmoniques de rang supérieur. Un dégonflage rapide risque de perturber le spectre de $f_i(t)$.

Sur les figures 1-A, 1B, 1C on peut voir le spectre de fréquence de la composante pneumatique dans le cas de différentes vitesses de dégonflage.

-Le spectre de composante physiologique $f_i(t)$ est contenu entre $0,7 \leq f \leq 10$ Hz
Il est constitué :
-d'une composante fondamentale située entre $0,7 \leq f \leq 3,5$ Hz ce qui correspond à une fréquence cardiaque située entre 70 et 210 bat/min.

.../...

DEGONFLAGE TRES LENT



DEGONFLAGE TRES RAPIDE



DEGONFLAGE A L'AIDE DE L'ELECTROVANNE



figures : 1A - 1B - 1C

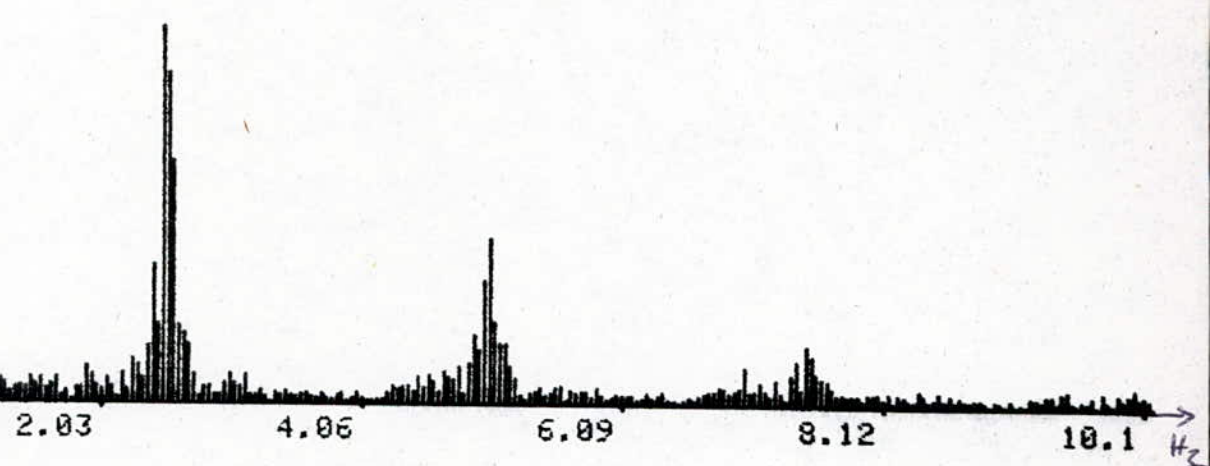
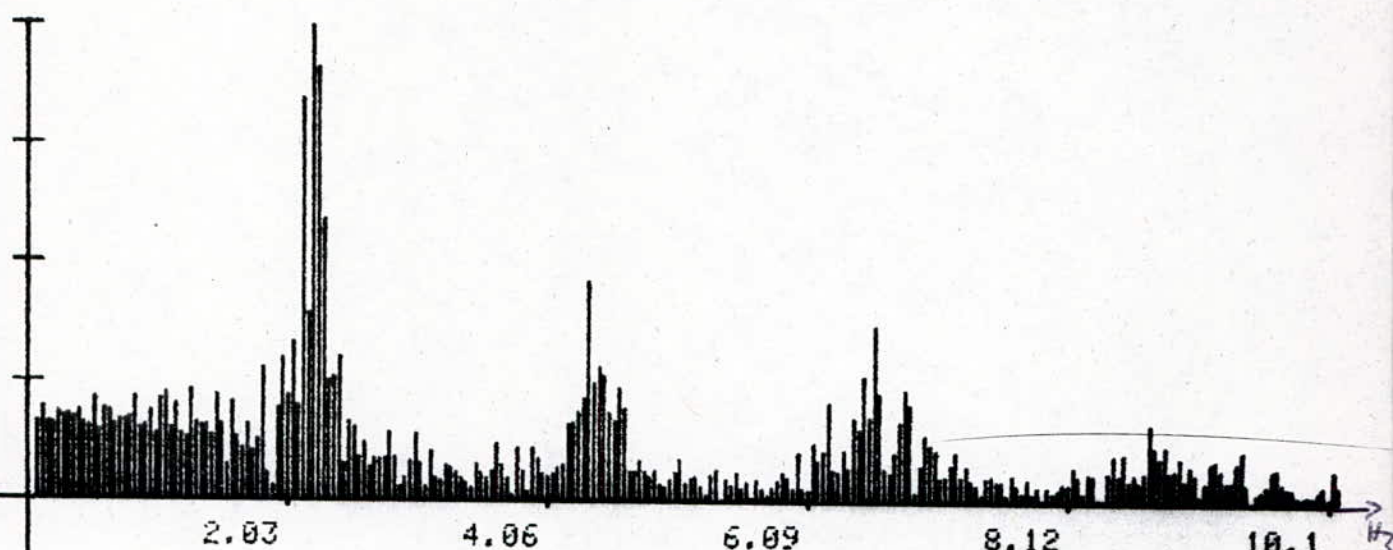


figure 1D - 1E

-De composantes secondaires de plus hautes fréquences correspondant au temps de monté de l'onde principale et de l'onde dicroite plus d'éventuels bruits introduit par le sujet.

Deux exemples de spectre sont donnés sur la figure 2-D, 2-E.

CHAPITRE 2

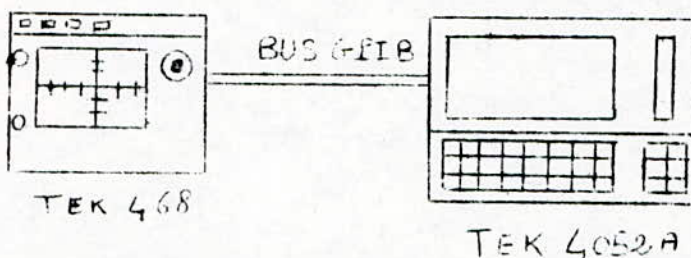
INTRODUCTION

La premiere etape ,dans la conception de notre appareil ,consistera a detecter le signal physiologique $f_i(t)$. Aussi ,ce chapitre regroupera les differents moyens mis en oeuvre pour son extraction.

Plusieurs methodes ont ete etudiees et simulees sur un calculateur afin de choisir la plus appropriee .L'idee consiste en la simulation ,par soft,de la carte concue ,de lui appliquer les differents signaux utiles et de verifier la concordance theorie-pratique,tout en se mettant dans les conditions de travail optimum.

Le travail de simulation a ete elabore sur une chaine d'acquisition composee de l'oscilloscope numerique TEK^{*} 468 et du micro-ordinateur TEK^{*} 4052 A .

2.1 PRESENTATION DE LA CHAINE D'ACQUISITION (3)



L'oscilloscope TEK 468 est un appareil a memoire pouvant travailler en mode memoire numerique ou en mode conventionnel. Il communique avec le micro-ordinateur 4052A par le biais du bus GPIB. La transmission des donnees se fait en mode parallele.L'oscilloscope TEK 468 est designe comme etant un "TALKER". Il envoie uniquement des informations.Le 4052A est le seul controleur du bus GPIB.

La courbe du signal envoyee est echantionnee sur 512 points. Lors de l'envoie de la courbe,un message est simultanement envoyee par le 468 au 4052 A lui specifiant toutes les caracteristiques accompagnant ce paquet d'informations (base de temps,calibre Volts/div,...).Une fois arrive au niveau de la memoire systeme du 4052A,le signal peut etre sauvegarde en memoire et traite ulterieurement.

Pour le traitement du signal ,on peut utiliser les ROM-PACK contenant la FFT,IFT,...

Leur utilisation est simple il suffit de faire un CALL"fonction de traitement",et de specifier,selon la syntaxe requise,sur quel fichier le traitement est applique.

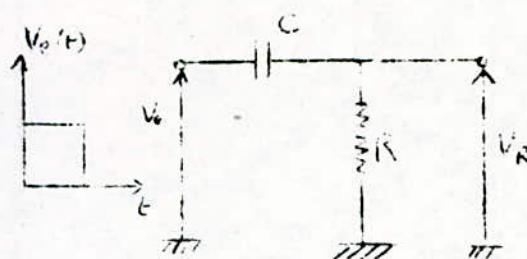
2.2 METHODES D'EXTRACTION ETUDIEES:

2.2.1 GENERATION DE FONCTION D'OPPOSITION

La fonction d'opposition $P'(t)$,generee par soft,servira a eliminer la composante pneumatique $p(t)$ de $P(t)$. ainsi $P(t)-P'(t)=f_i(t)$

2.2.2 GENERATION D'EXPONENTIELLE DECROISSANTE

Le système brassard + fuite ,de la vanne de degonflage,peut etre assimile a un circuit deriveur de constante de temps "tau=RC".



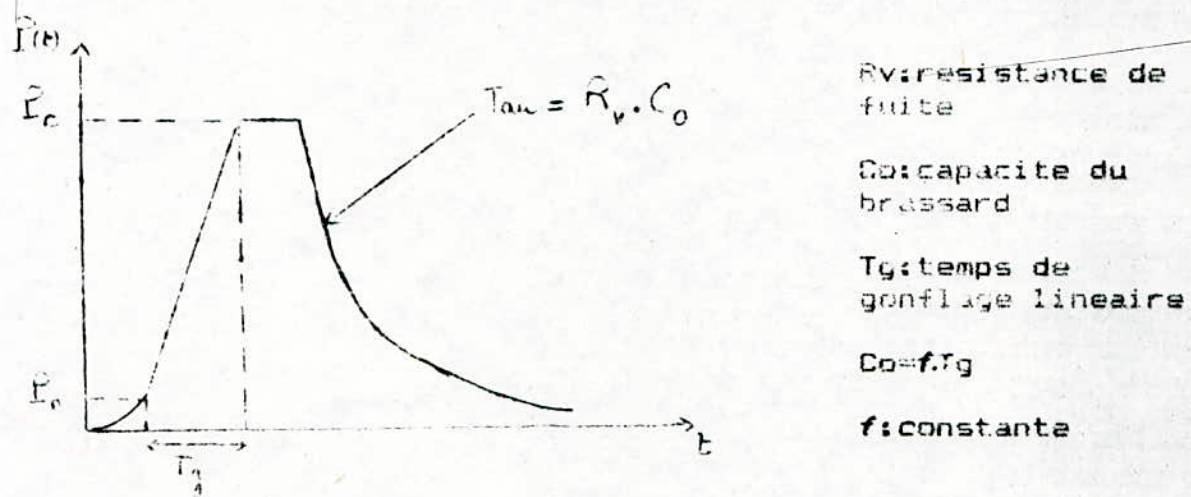
R :fuite du brassard

C :capacite du brassard

$\tau_{\text{au}}=\text{constante de temps de decharge.}$

circuit deriveur

Le degonflage du brassard equivaut a une decharge de la capacite C dans la resistance R .Lors de la decharge : $V(t)=A \exp(-t/\tau_{\text{au}})$
 On constate (2) que,moyennant la connaissance du temps T_g ,pendant lequel le gonflage du brassard est lineaire, on peut determiner tau de l'exponentielle de degonflage du brassard.Ainsi connaissant A et τ_{au} ,on peut generer une exponentielle decroissante $P'(t)$ de meme caracteristique que celle generee,par la composante pneumatique $p(t)$ lors du degonflage du brassard.



R_v :resistance de fuite

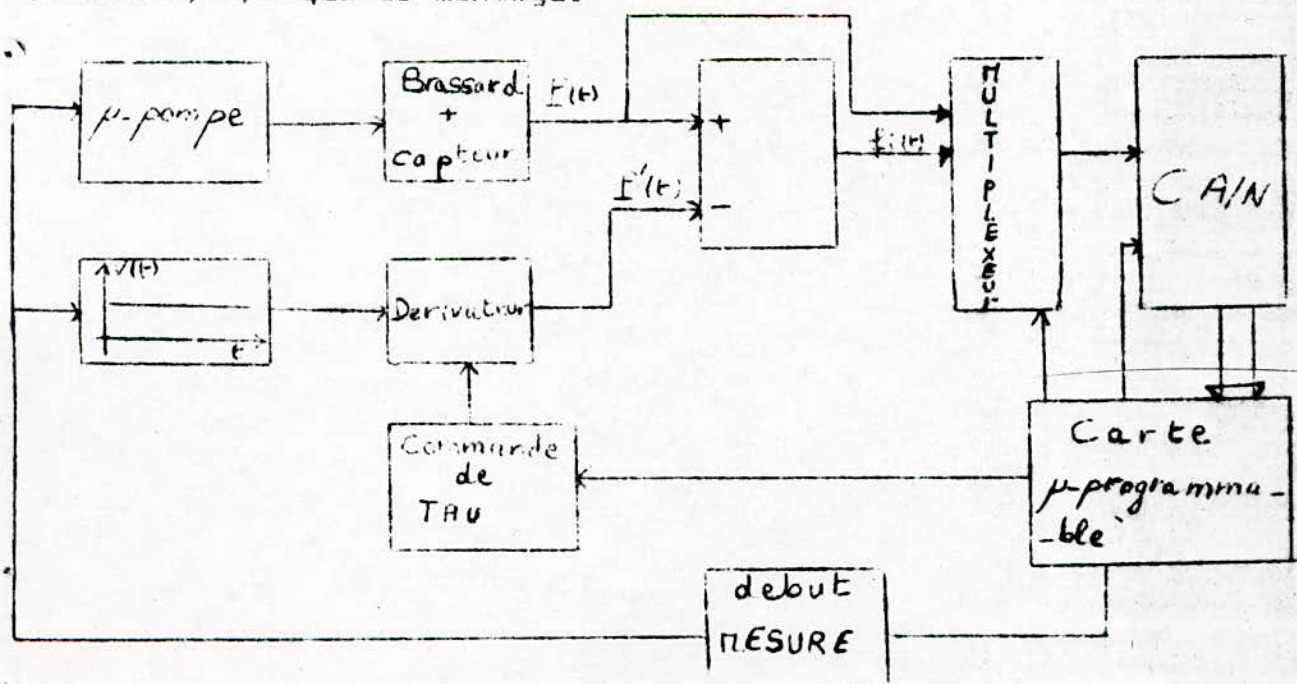
C_0 :capacite du brassard

T_g :temps de gonflage lineaire

$C_0=f \cdot T_g$

f :constante

Schema synoptique du montage:



MODE DE FONCTIONNEMENT:

La micro pompe gonfle le brassard jusqu'à une pression suprasystolique. Le système à micro processeur détermine T_g , calcul la valeur de la constante de temps tau de l'exponentielle de dégonflage $P'(t)$, modifie en conséquence le niveau à l'entrée du différentiateur et la constante de temps du dérivateur. Lors du dégonflage $P'(t)$ et $P(t)$ se présentent simultanément à l'entrée du différentiateur à la sortie duquel on est sensé récupérer $f_i(t)$.

2.2.3 SIMULATION DU SYSTEME PRECEDEMENT DECRI

Après acquisition et sauvegarde du signal $P(t)$ de dégonflage du brassard.

Moyennant les hypothèses de départ, nous allons générer une exponentielle de même amplitude max et de même constante de temps que celle générée lors du dégonflage du brassard.

RESULTATS:

Après expérimentation de la méthode (cf: courbes + programmes). Il s'avère que :

$P(t)$ tend vers une valeur d'offset non nulle en fin de dégonflage, on peut en éliminer l'effet en la recreant au niveau de l'exponentielle $P'(t)$ générée.

Le calcul de tau sur un seul point à partir de la courbe $P(t)$ s'avère un échec : La courbe générée $P'(t)$ ne se superpose à $P(t)$ que sur une faible portion de la courbe. L'augmentation du nombre de points de moyennage pour le calcul de tau entraîne une dissociation de plus en plus grande entre $P'(t)$ et $P(t)$. (figures 2A et 2B à 2C)

CONCLUSION:

La courbe de dégonflage du brassard n'est pas une exponentielle pure du fait de la variation constante de temps tau lors du dégonflage du brassard. On se retrouve dans l'impossibilité de réaliser le système précédemment décrit.

Cependant une autre méthode s'offre à nous. On pourrait générer une fonction d'opposition $P'(t)$ par le biais du lissage de la fonction $P(t)$ obtenue lors du dégonflage du brassard. La fonction lissée correspondrait alors à $P(t)$ sans les petites fluctuations due à la présence de $f_i(t)$.

alors

$$P(t) - P'(t) = f_i(t)$$

2.2.4 GENERATION DE COURBE PAR LISSAGE

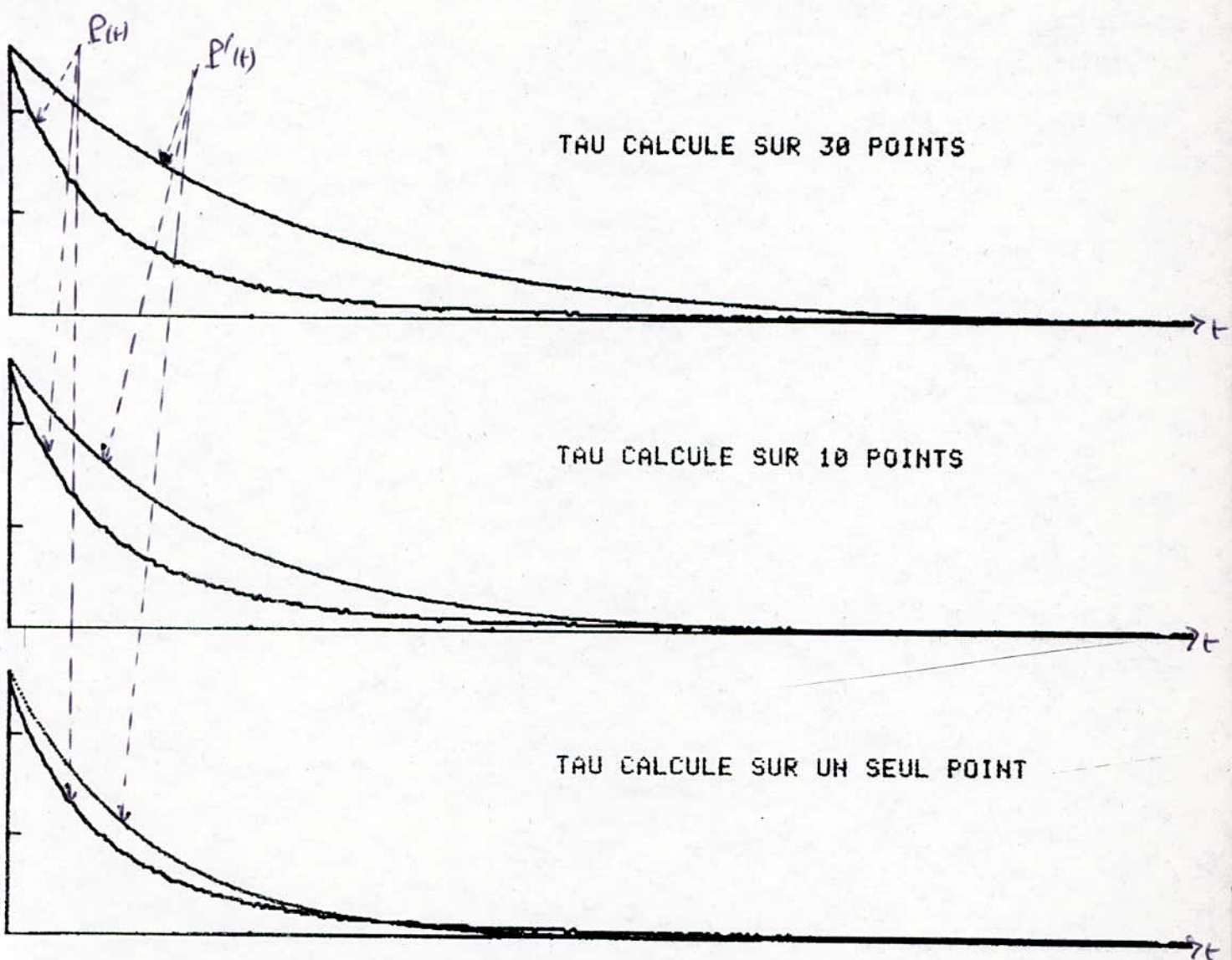
2.2.4.5 NOTION DE LISSAGE LOCAL:

Il consiste en la substitution aux valeurs Y_i de la table de $P(t)$ (512 points) les valeurs \bar{Y}_i données par l'expression:

$$\bar{Y}_i = (Y_{-m} + \dots + Y_{-1} + Y_0 + Y_1 + \dots + Y_m) / N$$

$N=2m+1$

Les meilleurs résultats ont été obtenu pour $N=9$ et 11 points. (voir figures 4d, 4e, 4f) + programmes en annexe.
Cependant les résultats ont été limité par la résolution du CA/N

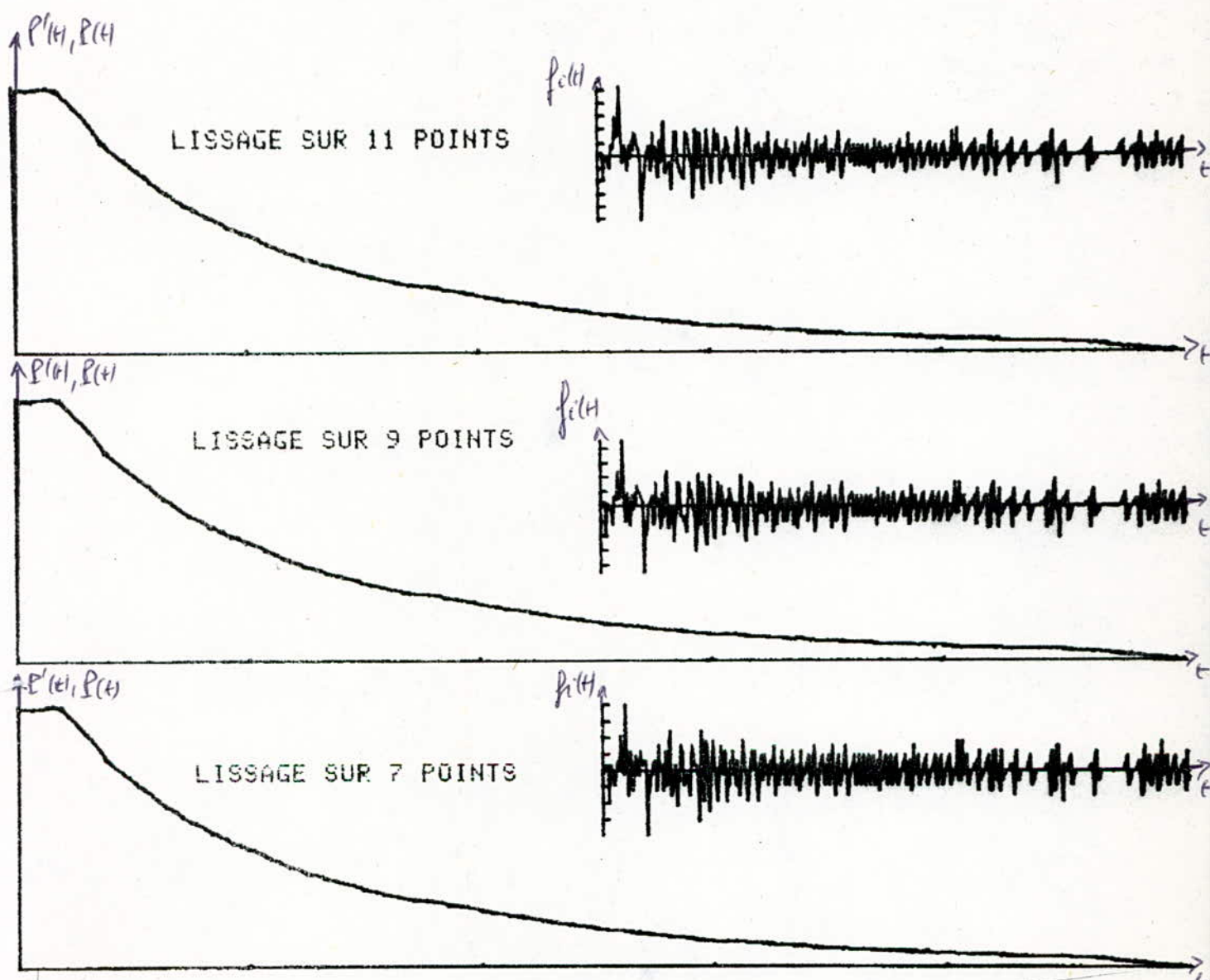


figures: 2A - 2B - 2C

$P'(t)$: Signal calculé

$P(t)$: Signal récupéré à la sortie du capteur.

Voir en annexe programme : "Génération d'exp."



figures 2d-2e-2f.

$P(t)$: Signal recuperé à la sortie du capteur

$P'(t)=$ Signal $P(t)$ lissé

Voir en annexe : "Programme lissage sur N pts"

de l'oscilloscope TEK 468. On n'a pas pu descendre au dessous de 20 mV de résolution. Pour avoir de meilleurs résultats un CA/N de 12 bits aurait été nécessaire. Il nous aurait permis de récupérer plus d'information sur $f_i(t)$.

CONCLUSION: Les deux méthodes décrites ultérieurement: génération d'exponentielle, méthode de lissage

étaient irréalisable. Il nous faut nous orienter vers un autre moyen d'extraction de la composante physiologique $f_i(t)$.

On a vu que dans le cas d'un dégonflage lent le spectre de $p(t)$ se resserre autour de la composante continue. Cependant le spectre de fréquence de $P(t) = p(t) + f_i(t)$ ne met pas en évidence flagrante le spectre de $f_i(t)$. La simulation d'un filtre, à l'aide du calculateur, permettant d'éliminer la composante pneumatique $p(t)$ nous constater que le filtrage est un moyen d'extraction de la composante physiologique $f_i(t)$.

2.2.6 ETUDE DU FILTRAGE: (4)

Il existe deux possibilités de filtrage:

filtrage passe-bas : (figure a)

Le signal $P'(t) = p(t)$ reçu à la sortie du filtre passe-bas soustrait à $P(t) = p(t) + f_i(t)$ permet la récupération de $f_i(t)$ en sortie du différentiateur.

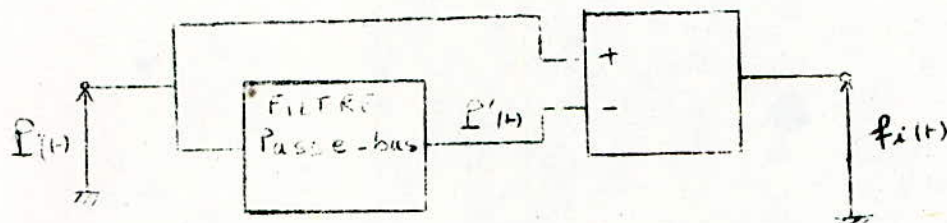


figure a.

filtrage passe-haut: (figure b)

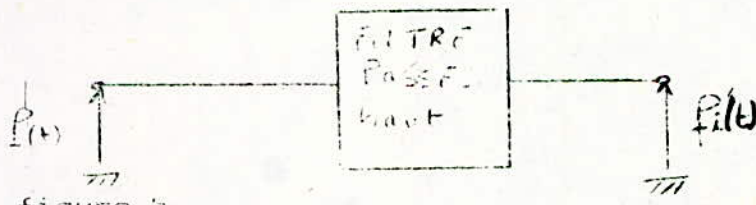
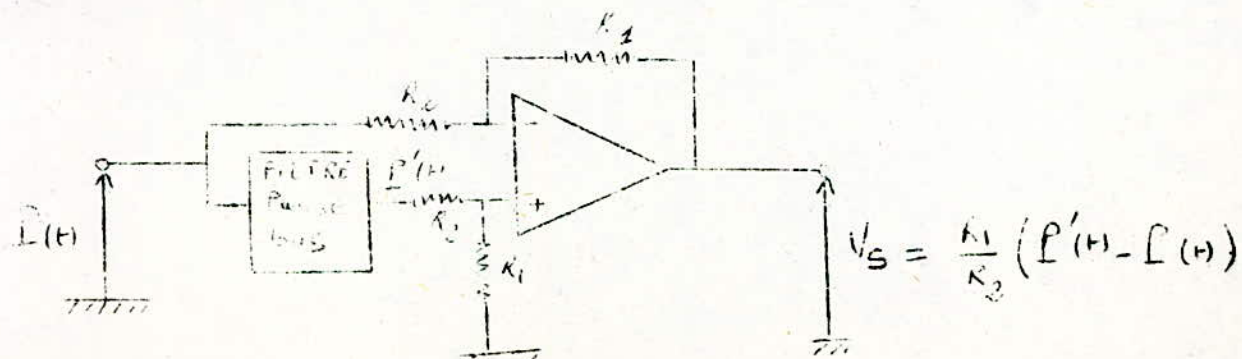


figure b.

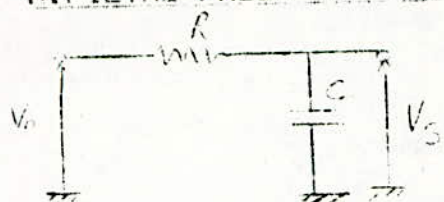
2.2.7 ETUDE DU FILTRAGE PASSE-BAS:

schéma électrique de principe:



Plusieurs types de filtres passe-bas ont été étudiés:

A. FILTRE PASSE-BAS DU PREMIER ORDRE:



$$f_c = 1/2\pi RC$$

f_c = fréquence de coupure.

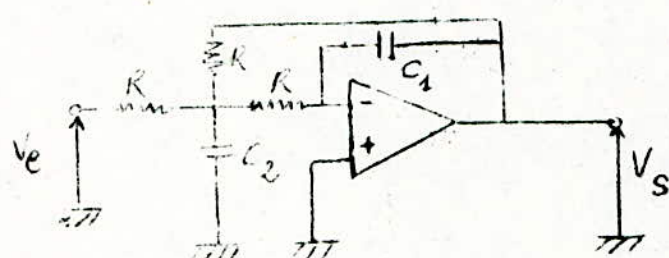
L'ordre du filtre ne nous permet pas d'avoir une assez grande sélectivité au voisinage de la fréquence de coupure. On est dans l'obligation d'utiliser un filtre passe-bas d'ordre deux.

B. FILTRE PASSE-BAS DU SECOND ORDRE:

Nous avons opté pour un filtre à contre réaction multiples (structure de RAUCH) du à sa simplicité de mise en œuvre et de son gain unité.

B.1 FILTRE PASSE BAS A CONTRE REACTION MULTIPLE:

schéma électrique:



$$f_c = 1/2\pi R SQR(C_1 C_2)$$

$$\kappa \Omega = 1.5 SQR(C_1/C_2)$$

$\kappa \Omega$ = coefficient
d'amortissement

Après plusieurs choix de fréquences de coupure (entre 0.3 et 0.5 Hz), on s'est rendu compte qu'en sortie du montage général (figure a), on est dans l'incapacité d'obtenir $f_i(t)$ variant autour d'une valeur moyenne constante. Ceci étant du au fait que le gain du filtre est légèrement supérieur à un. La caractéristique amplitude/fréquence n'est pas plate malgré le choix de $\kappa \Omega = 0.7$ (réponse type BUTTERWORTH). Les deux fonctions $F(t)$ et $F'(t)$ arrivant au différentiateur ont la forme de figure ci-dessous.

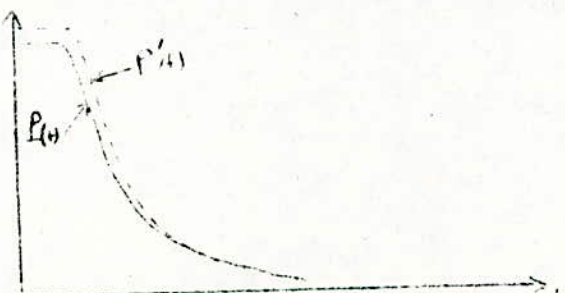
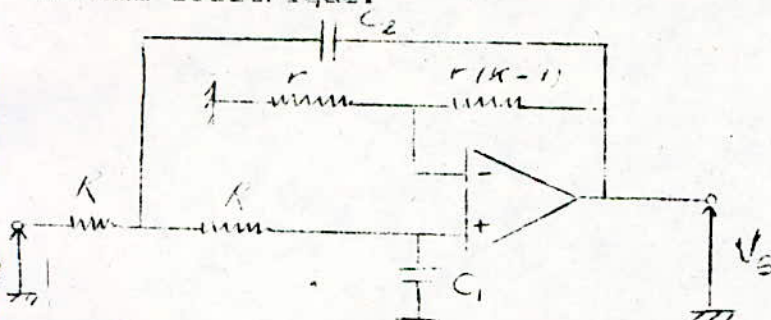


figure c.

Ainsi on est amené à changer la structure du filtre.

B.2 FILTRE PASSE-BAS A SOURCE CONTROLEE TYPE SALLEN-KEY:

schema electrique:

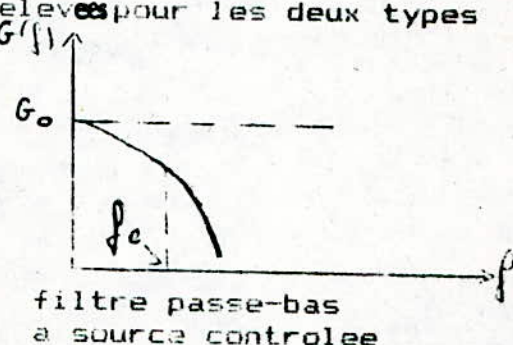
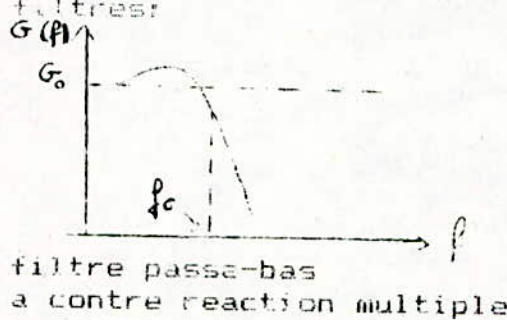


$$f_c = 1/2\pi\sqrt{C_1 C_2}$$

$$\kappa_{si} = \sqrt{C_1/C_2}$$

Malgrès les calculs fait nous donnant un gain unité, on constate qu'en réalité le gain est bien inférieur à 1 sur la bande de fréquence utile. Pour différentes fréquences de coupure prises (0.3-0.5Hz) et malgré les différentes valeurs de κ_{si} prises autour de 0.7, il est impossible d'avoir une superposition rigoureuse de $P(t)$ et $P'(t)$ pendant tout le temps de dégonflage à l'entrée du différentiateur. (Dans ce cas, on observe l'inverse de ce qui a été observé précédemment).

Soit les courbes amplitude-fréquence relevées pour les deux types de filtres:



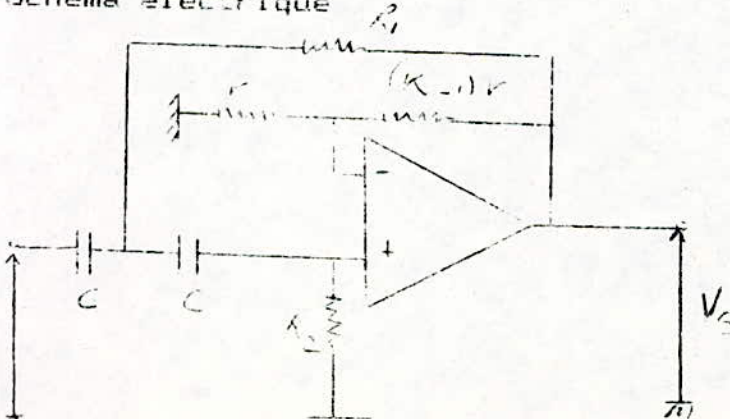
La solution restante est de filtrer $f_i(t)$ à l'aide d'un filtre passe haut.

2.2.8. ETUDE DU FILTRE PASSE-HAUT

La structure utilisée est un filtre passe haut du second ordre à source contrôlée type Sallen-Key du fait du nombre de compromis qu'il offre:

- relativement simple
- gain variable
- réponse amplitude-fréquence plate pour $\kappa_{si}=0.7$ (réponse type BUTTERWORTH)

Schema électrique



$$G_0 = k = 1.6$$

$$f_0 = 1/2\pi RC$$

$$\kappa_{si} = (3-k)/2 = 0.7$$

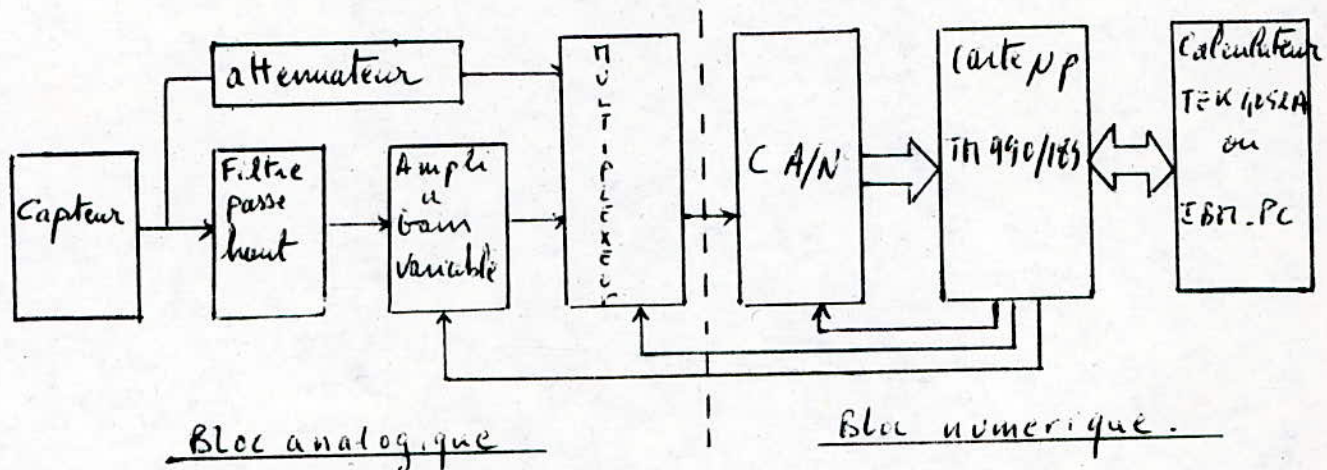
La fréquence de coupure du filtre choisie est de 1Hz (permet une extraction de $f_i(t)$ dans la majeure partie des cas)

CHAPITRE 3

INTRODUCTION

Dans ce chapitre nous présenterons les différents éléments de la chaîne d'acquisition réalisée, grâce auxquels les signaux $P(t)$ et $f_i(t)$ seront mis en forme, après leur extraction, afin de pouvoir être mémorisé et traité ultérieurement à l'aide du calculateur. La structure générale de la chaîne d'acquisition est imposée par la méthode d'extraction de $y_i(t)$.

3.1 SCHÉMA SYNTHÉTIQUE DE LA CHAÎNE D'ACQUISITION



On distingue deux principaux blocs, l'un ANALOGIQUE l'autre NUMERIQUE.

Le bloc NUMERIQUE peut se subdiviser en deux parties :

- acquisition et commande (réalisé par la carte TM 990 189)
- traitement (réalisé par le TEK 4052A)

3.2 BLOC ANALOGIQUE

3.2.1 LE CAPTEUR

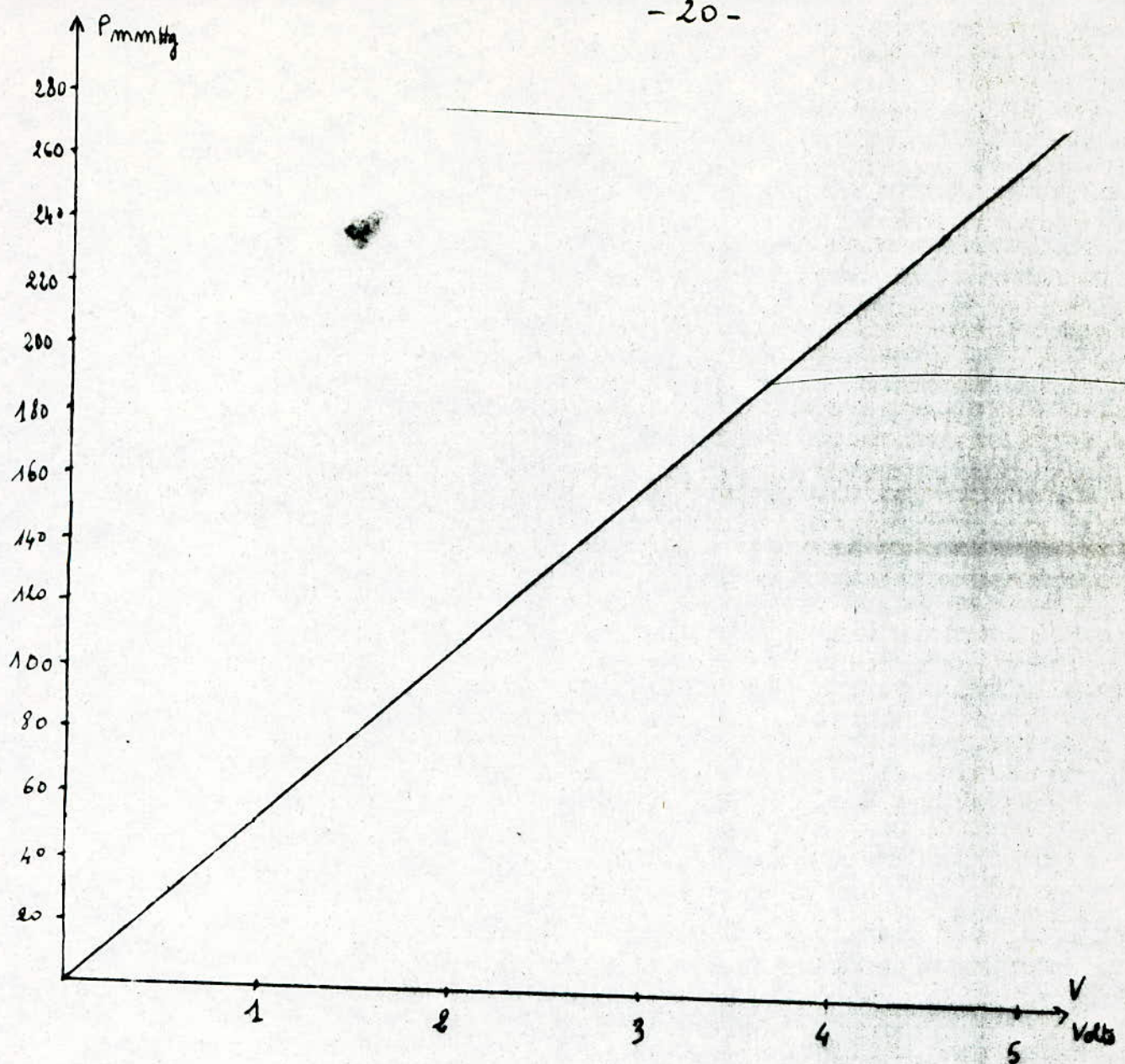
Le transducteur pression-tension utilisé est le LX 1601C. Sa caractéristique pression-tension (figure 3.1) est linéaire de 0 à 320 mmHg, cependant elle présente un offset de 7,4 Volts qu'il faut éliminer pour éviter la saturation du reste de la chaîne d'acquisition. Ceci est réalisé par un additionneur qu'on positionnera en sortie du capteur. Ainsi la dynamique du signal de sortie du capteur ira de 0 à 8 Volts pour une variation de pression de 0 à 320 mmHg (voir figure 1 et schéma électrique général).

3.2.2 FILTRE PASSE HAUT

Se référer au chapitre précédent (page 11, 12).

3.2.3 AMPLI À GAIN VARIABLE

Son utilisation est imposée pour 3 raisons :



caractéristique Pression-Tension du Lx1601 G

figure 3-1

relation de transfert

$$P = K \cdot V$$

$$K = 53 \cdot 10^{-3}$$

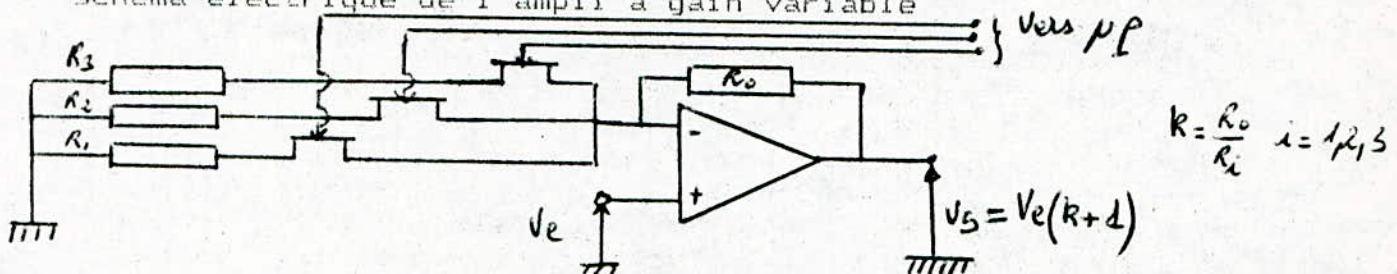
- L'amplitude maximale du signal physiologique $f_i(t)$ est fonction de l'individu. De ce fait elle présente une variabilité pour une population donnée.

- la valeur de la tension max à l'entrée du CA/N est limité à 5 Volts.

- La précision sur l'acquisition du signal $f_i(t)$.

3 gammes de gain ont été envisagées. Les valeurs des gains ont été déterminées après sondage sur un échantillon de 100 personnes. les gains ainsi choisis permettent à l'amplitude max de $f_i(t)$ d'être comprise entre 75 et 100 % de V_{ref} du CA/N (5 Volts).

schéma électrique de l'ampli à gain variable



La première acquisition se fait avec un gain moyen, avec lequel on est susceptible, dans le cas d'un individu normal, de travailler sur la pleine plage d'entrée du CA/N. Après acquisition le micro processeur décide de la validité de l'acquisition selon l'amplitude maximum mesurée. Le choix du gain, dans le cas d'une nouvelle acquisition, sera tel qu'on travaillera toujours dans la pleine plage du CA/N.

3.2.4 ATTENUATEUR

la sortie du capteur, malgré l'élimination de l'offset, peut atteindre des tensions, lors du gonflage du brassard, supérieures à 5 Volts. Une atténuation, réalisée par un potentiomètre, est donc prévu pour adapter le capteur à la plage de fonctionnement du CA/N.

3.2.5 MULTIPLEXEUR

La méthode de détermination de P_s, P_d, \dots impose la conversion simultanée des signaux $P(t)$ et $f_i(t)$. Cependant vu la fréquence de conversion du CA/N et la vitesse d'évolution de $f_i(t)$ et $P(t)$ un CA/N associé à un multiplexeur analogique suffit pour répondre aux besoins. Le multiplexeur utilisé est constitué de deux switchs appartenant au CD 4066.

commande	entrée	Sortie
H	H	H
B	H	B

* H : niveau haut

B : niveau bas.

table de vérité

3.2.6 ECHANTILLONNEUR BLOQUEUR

Cet élément n'apparaît pas sur synoptique. Cependant il est, dans un grand nombre d'appliquatons associé au CA/N. Dans notre réalisation il ne sera pas utilisé vu que les signaux étudiés présentent des variations, pendant le temps de conversion, inférieur à 1 quantum ($q=20 \text{ mV}$)

En effet:

Le signal $f_i(t)$ peut être approximé sur une période à une sinusoïde d'expression:

$$Y = A \sin(\omega T)$$

Le taux d'accroissement pendant le temps de conversion

$$dY/dT = A\omega \cos(\omega T)$$

$T=100 \text{ micro secondes} \Rightarrow \omega T \ll 1 \Rightarrow \cos(\omega T) \approx 1$

Le spectre de fréquences de $f_i(t)$ est compris entre $0.7 < f < 3.5 \text{ Hz}$.

L'amplitude max pouvant être atteinte par $f_i(t)$ est de 5 Volts. Si on se met dans les conditions de travail les plus défavorables la variation dY sera : $dY = T \cdot \omega \cdot A = 11 \text{ mV} < q$

Pour ce qui est de $P(t)$, la fuite est choisie tel que la variation de $P(t)$ pendant une période de conversion soit inférieur à un quantum.

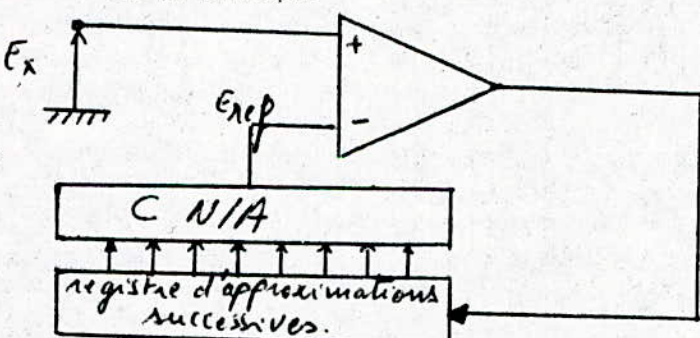
Ainsi la présence d'un E/B avant le CA/N est inutile dans notre cas.

3.3 BLOC NUMÉRIQUE

3.3.1 CONVERSION ANALOGIQUE-NUMÉRIQUE

Le CA/N utilisé est l'ADC 804. C'est un convertisseur à approximations successives basé sur le principe de la pesée successive jusqu'à équilibrage.

schéma de principe



Principe de fonctionnement

La grandeur analogique à convertir E_x est comparée à une grandeur numérique de référence sur N bits, E_{ref} .

Au départ seul le MSB est à 1

$$E = E_x - E_{ref}$$

a- $E < 0$ le msb est positionné à 0

la grandeur de référence est supérieure à E_x

b- $E > 0$ le msb est positionné à 1

la grandeur de référence est inférieure à E_x

c- $E=0$ fin de la conversion

la grandeur de référence égale la grandeur E_x .

La cycle est répété en positionnant le bit suivant de poids inférieur jusqu'à obtention de E=0.

Ainsi on aura à positionner un maximum de N bits (N= nombre de bits exprimant Eref)

Caractéristique du CA/N utilisé :

-La plage d'entrée s'étend de 0 à 5 Volts

-Eref=5 V

-résolution q=Eref/2^N q=20 mV

-Le temps de conversion choisi est de 100 μ secondes

-La précision est de plus ou moins 1/4 de lsb

Le CA/N utilise présente 4 signaux de contrôle lui permettant d'être interface à un système à micro processeur.

Signaux de contrôle:

CS: il permet la sélection du CA/N

WR: permet le lancement de la conversion

RD: permet la lecture d'informations binaires en sortie du CA/N

INTR: indique la fin de la conversion et de l'autorisation de lecture par un périphérique de la donnée convertie.

la commande de l'ampli à gain variable ,du multiplexeur et du CA/N se fera à l'aide de la carte TMS 990/189.

3.4 PRESENTATION DE LA CARTE TM 990-189 (5)

Elle est bâtie autour d'un micro processeur travaillant sur 8/16 bits, le TMS 9980A. Elle peut fonctionner de façon indépendante ou en liaison avec des périphériques externes.

Elle est constituée essentiellement de 4 blocs:

-le micro processeur TMS 9980A

-3 interfaces programmables (2 TMS 9901 +1 TMS 9902)+ 1 extension périphérique hors carte.

-blocs mémoires RAM et ROM

-périphérique(clavier + visu)

ARCHITECTURE

-bus de données sur 8 bits de D0 à D7 (D0:msb,D7:lsb)

-bus d'adresses; 14 lignes de A0 à A13/CRUOUT(A0:msb ,A13:lsb)

bus de contrôle :

E (validation écriture

mémoire),READY,DRE,INTX,HOLD,HOLDA,IAQ,FI3,MEMEN

(validation accès mémoire)

Spécificités

-le TMS 9980A est un pseudo 16 bits

-La notion d'espace de travail donne la possibilité de subdiviser une tâche complexe en un grand nombre de tâches simples en définissant à chaque un espace de travail propre WP.

-CRU: il permet l'émission et la réception sur le port

d'entrée-sortie de données de 1 à 16 bits en série ou parallèle.

Voir le schéma fonctionnel de la carte sur la figure 3.2

3.4.1 ETUDE DES ENTREES-SORTIES DE LA CARTE TM ~~en vude~~:

-la commande des différents éléments de la chaîne d'acquisition (CA/N, multiplexeur, ampli à gain variable)

-sauvegarde des informations converties par le CA/N

L'une des principales caractéristiques d'un système à micro processeur est sa capacité de communication; plus elles sont développées plus il pourra y avoir de possibilité d'échange entre le processeur et les périphériques.

3 types d'entrées-sorties (E/S) sont disponibles au niveau de la carte:

3.4.1.1 E/S COMMANDES PAR PROGRAMMES (7)

Definition

C'est la méthode la plus simple de contrôle. Un programme en mémoire gère les communications et échanges de données entre processeur et les périphériques.

On est cependant limité aux vitesses d'échanges moyennes.

Au niveau de la carte TMS deux types d'entrée sorties contrôlées par programme peuvent être distingués

Entrelacage avec la mémoire:

Dans ce cas le périphérique doit posséder une grande partie des caractéristiques d'une mémoire. Il doit reconnaître son adresse lorsqu'elle est émise sur le bus d'adresse accompagnée du signal de validation mémoire MEMEN.

De plus si le périphérique est en mesure de d'émettre et recevoir des données, il doit pouvoir identifier les cycles de lecture et d'écriture du processeur et lui répondre de façon adéquate en émettant ou en recevant les données sur le bus.

Un problème de synchronisation risque d'apparaître, on pourra le contourner à l'aide du signal READY que la logique de l'interface ne laissera apparaître que lorsque les données auront été émises ou reçues.

C'est ce mode d'adressage que nous utiliserons pour la liaison CA/N carte TMS.

C-R-U: (registre communication série) (6)

Le CRU est un caractère intrinsèque à l'architecture de la famille TMS 9900. Il permet le transfert de données séries et utilise un interface spécifique indépendant du bus de données et sans interaction avec la gestion du système mémoire.

definition de l'interface CRU:

Le TMS 9901 se connecte à l'unité centrale par l'intermédiaire du bus CRU constitué par 3 lignes.

-CRUIN: permet la réception de données séries

-CRUOUT: permet l'émission de données séries

-CRUCLK: permet l'échantillonnage des informations à leur sortie.

Les données lues par le processeur sont échantillonées par la phase d'horloge FI 3.

Cinq lignes d'adresse à l'entrée (S0 à S4) permettent d'adresser 32 bits CRU internes au TMS 9901.

REMARQUE:

Dans le cas d'échanges de données avec l'extérieur par le biais du CRU, la ligne d'adresse A13 est confondue avec CRUDOUT.

Le TMS 9901 bénéficie d'une horloge temps réel interne, grâce à

laquelle la mesure ou la generation d'intervalles de temps est possible, et de la possibilite de recevoir des interruptions (6 niveaux d'interruption sont reconnus par le TMS 9980A). Le passage du mode d'E/S-INTERRUPTION au mode horloge se fait a l'aide du bit de controle. figures 3.4,3.5.

ADRESSEAGE CRU

L'adresse de base CRU est geree de facon logicielle. Elle est placee dans le registre 12 de l'espace de travail de la tache en cours. Seuls les bits 4 a 14.sont utilises par le CPU pour obtenir l'adresse CRU materielle. Pendant l'execuition d'une instruction CRU, l'adresse de base CRU est presente sur les lignes d'adresse A2 a A12.

Ainsi a partir d'une adresse fixee on peut adresser un maximum de 16 bits. Les informations sur les pins du TMS 9901 peuvent etre representee sous forme serie ou "parallelle".

La souplesse et la facilite de programmation du CRU nous facilitera la commande du multiplexeur et de l'ampli a gain variable.

3.4.1.2 E/S CONTROLEES PAR INTERRUPTIONS:

Dans ce cas c'est le peripherique qui prend l'initiative d'echange d'informations avec le micro processeur. Lorsqu'il veut etre pris en compte quelque soit le programme en cours , il emet une demande d'interruption, le processeur a ce moment sauvegarde un volume d'information suffisant pour pouvoir revenir plus tard a la tache ainsi interrompue. Puis il opere un changement de contexte en se branchant au programme associe a l'interruption prise en compte.

Au niveau du TMS 9901, lorsque le bit de controle est a 0 l'information lire sur les adresses 1 a 15 (correspondant au bits INT1 a INT15) sera pris comme interruption. L'information ecrite correspondra a un masquage (MASQUE1 a MASQUE 15).

3.4.1.3 E/S PAR ACCES DIRECT MEMOIRE:

Ce mode permet le transfert de paquet de donnees a vitesse elevee sans interaction avec l'unité centrale. La duree de l'echange est directement fonction du temps acces memoire. Ici la rapidite se paye au prix d'une plus grande complexite des circuits d'E/S.

3.4.2 LIAISON CA/N INTERFACE EXTENSION DE BUS

Le CA/N utilise dispose d'un bus de donnees (D0 a D7), d'un bus d'adresse lui permettant d'etre selecte (CS), et d'un bus de controle (WR,RD,INTR). La gestion de toutes ces lignes par le TMS 9901 risque d'etre lourde. Le CA/N sera cable avec la carte de tel sorte qu'il sera adresser comme une memoire.

Le mode entrelacage avec la memoire sera choisi comme mode de liaison.

3.4.3 EXTENTION DE BUS DE LA CARTE TM 990-189

L'adresse des peripheriques hors carte est situe entre 1000 et 2FFF. (figure 3.3)

L'extention de bus hors carte est realise grace a l'interface d'extention de bus , liee au connecteur P4, qui genere les signaux amplifies:

DEC1,CRUENA,MEMEN,A8 a A13,WE,DBIN,...

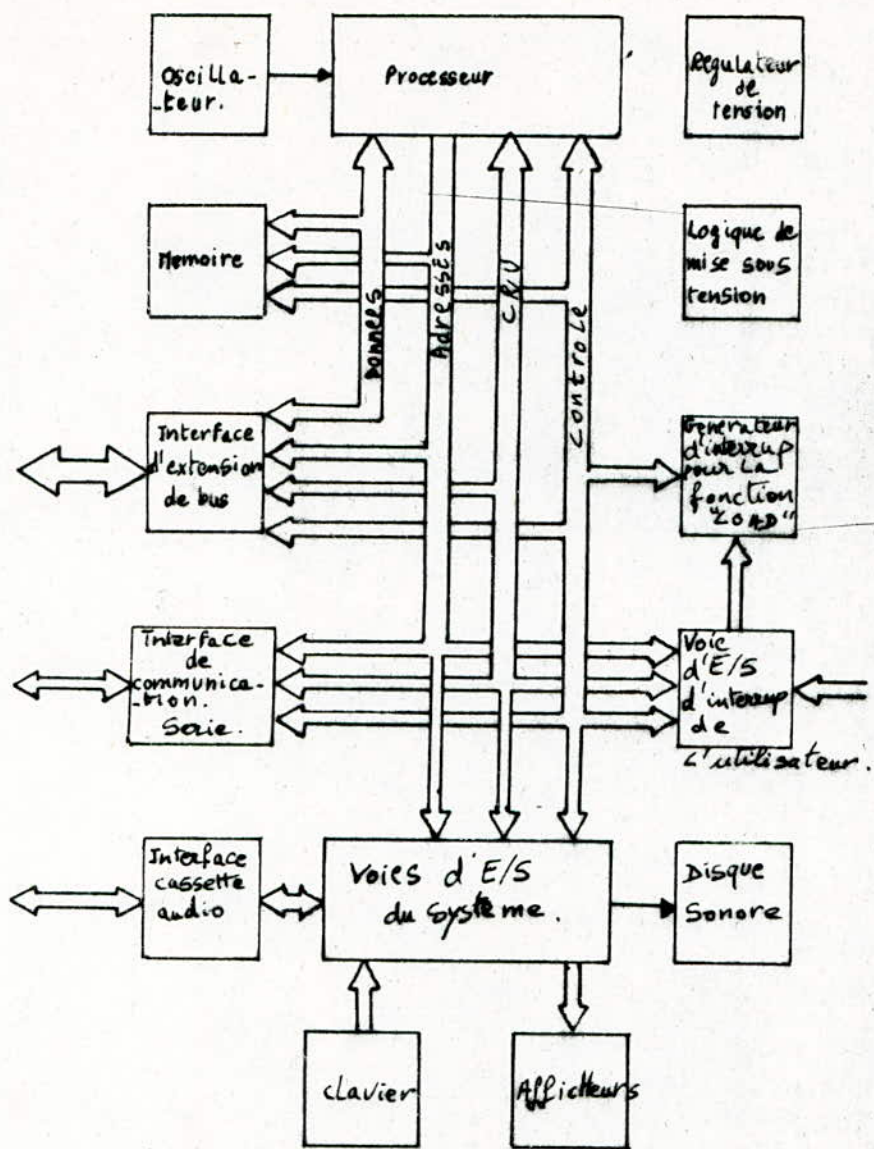
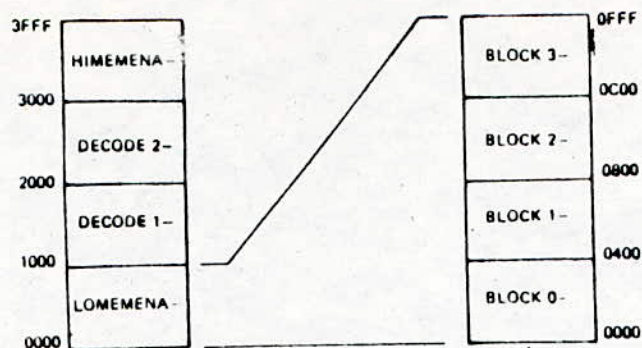


figure 3.8-

Schema fonctionnel de la carte TII 990/189



SIGNALS DE PARTITION DE LA MEMOIRE

figure 3-3

DECODAGE DES ADRESSES MEMOIRE

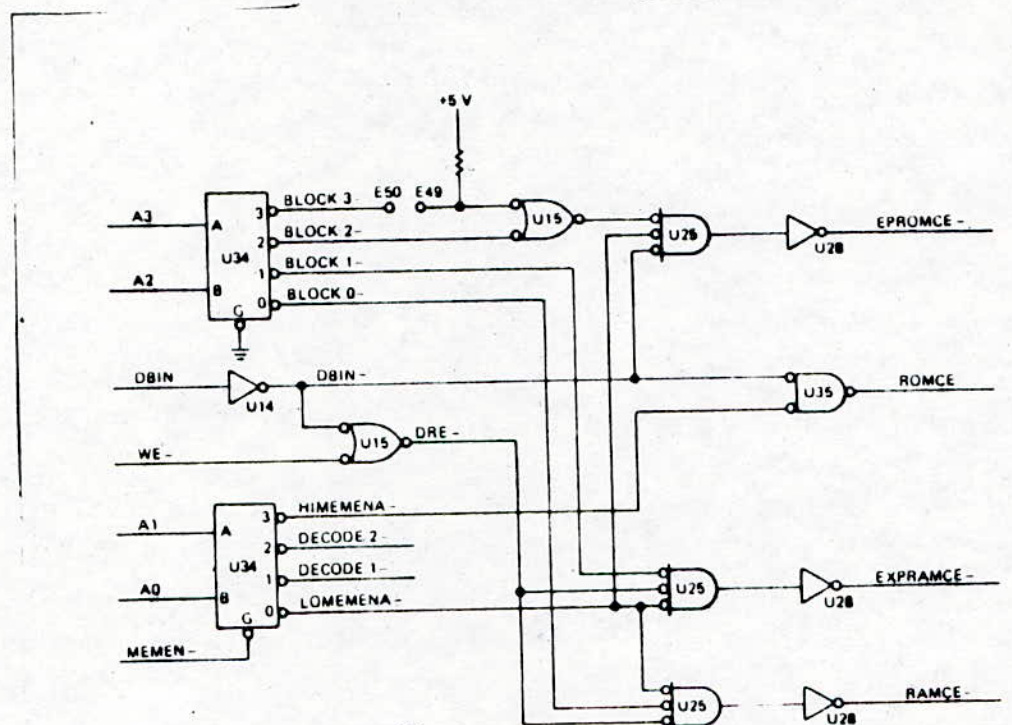


Figure 3-6

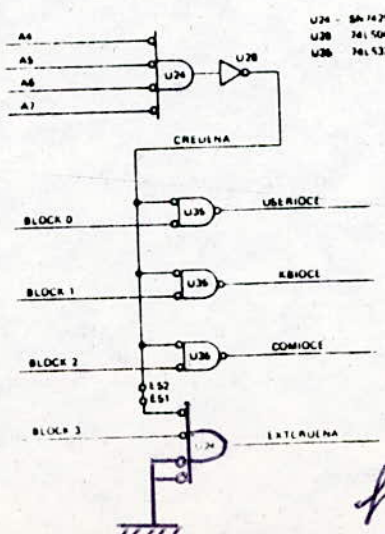


Figure 3.7.

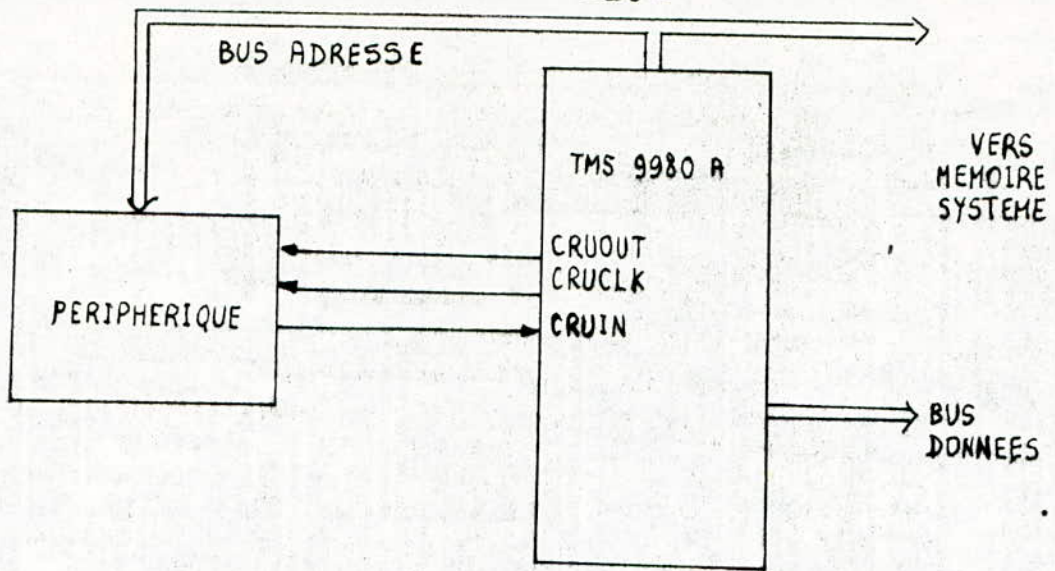


figure 3-4

PRINCIPE GENERAL DU MODE DE COMMUNICATION SERIE

LOGIQUE D'INTERRUPTIONS

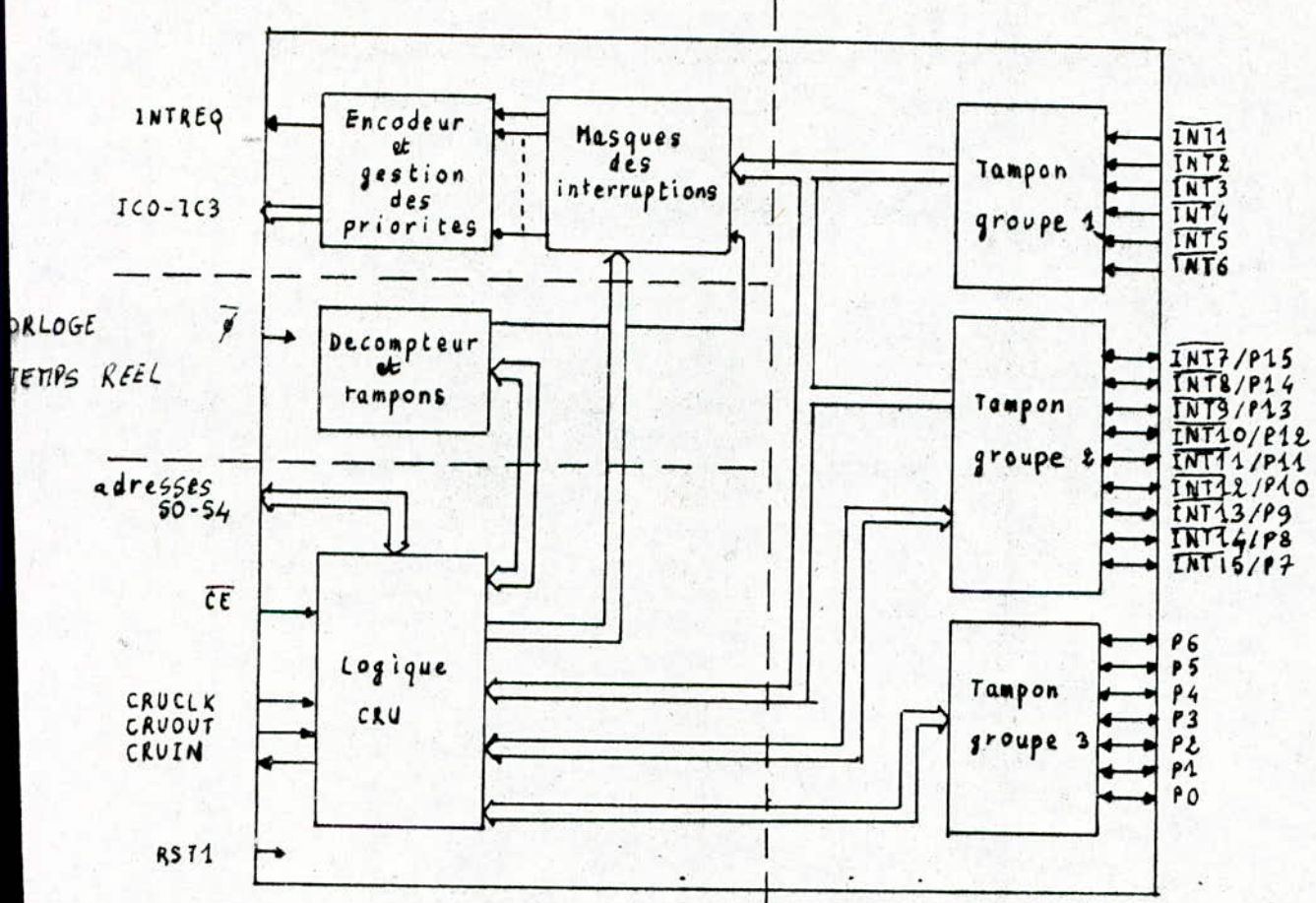
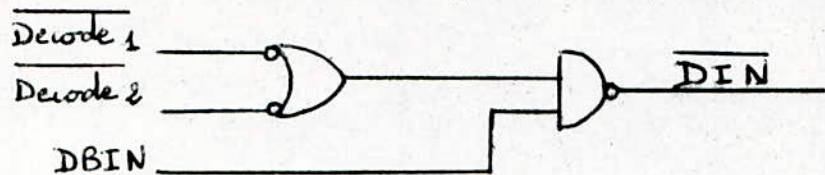


figure 3.5

SCHEMA BLOC du TMS 9980 A

Le sens de fonctionnement de l'extention est contrôlé par le signal DIN combinaison des signaux DEC1,DEC2,DBIN.



Les buffers (74LS245) bidirectionnels fonctionnent en entrée lorsque DEC1 ou DEC2 est à l'état bas et DBIN à l'état haut, ce qui permet ainsi au processeur de lire les données des mémoires hors carte. Dans les autres cas ils sont configurés en sortie ou inhibe dans le cas de la DMA.

La méthode utilisée pour valider le CA/N lorsque son adresse est émise est l'adressage décodé. L'adresse affectée au CA/N est > 1C38 car elle permet l'utilisation de certains circuits existants sur la carte TMS cela afin de simplifier au maximum le circuit de décodage.

Lors de l'émission de l'adresse du CA/N sur le bus d'adresse on aura:

A0	A1	A2	A3	A4	A5	A6	A7	A8	A9	A10	A11	A12	A13
0	1	1	1	0	0	0	0	1	1	1	0	0	0

DEC1 BLOC3

CRUENA

-DEC1: résulte de la combinaison logique de A0 et A1 grâce à U34

-BLOC3: résulte de la combinaison logique de A2,A3 grâce à U34

-CRUENA: résulte de la combinaison logique de BLOC3,A4,A5,A6,A7
voir figure 3.6 et 3.7

Pour valider l'adresse du CA/N il suffira de prélever sur P4: DEC1, CRUENA, MEMEN, A8 à A13, ainsi que WE et DBIN qui correspondent respectivement au ordre d'écriture et de lecture. (voir figure 3.8 schéma électrique du décodage d'adresse du CA/N)

3.4.4 CONTROLE DE L'ADC 804 PAR LA CARTE

La conversion est enclenchée lorsque le micro processeur demande une écriture en mémoire à l'adresse > 1C38. Une fois la conversion terminée le CA/N informe le micro processeur par le biais de INTR de la fin de la conversion, dès lors le micro processeur charge la valeur convertie dans une case mémoire en RAM système.

3.5 LIAISON CARTE TM-CALCULATEUR HOTE

Le synoptique de la chaîne présentée fait apparaître une liaison entre la carte TM 990-189 et un calculateur hôte (TEK 4052A ou M24). Le but d'une telle liaison est double .

-Test et mise au point des algorithmes de traitement d'une maniere plus aisee du fait de l'utilisation de language evolue dote d'instructions graphiques.

-Utilisation de la memoire de masse du calculateur afin de se constituer une base de donnees.

Le support de communication entre les deux systemes est realise a l'aide d'une liaison RS 232C par le biais de laquelle les informations sont transmises sous forme serie.Les deux systemes (carte TM TEK 4052A) communiquent en fullduplex;ils peuvent emettre et recevoir des donnees simultanement.

Deux types d'informations sont vehiculees par cette liaison:

-les informations utiles (donnees)

-les informations servant a la synchronisation des deux systemes.

(voir annexe tableau 1)

Sur la carte,un port d'E/S specialise,le TMS 9902 ,assure l'interfacage entre le processeur et la liaison serie asynchrone RS 232C.Il est relie au processeur de la carte par le bus CRU. Les parametres de transmission tel:

-la vitesse de transmission

-la parite

-nombre de bit exprimant l'information utile seront initialises ,avant l'establissemnt de la communication,au niveau du calculateur hote et de la carte TM.

L'envoi des donnees de la carte vers le calculateur hote peut etre realise par deux types d'instructions:

-instructions CRU

-utilitaires (sous programmes realisant des operations d'E/S qu'on appelle par le biais des operations etendues XOP)

La communication a l'aide d'instructions CRU aura ete preferer a l'emploi l'utilitaires.le temps d'execution d'une instruction XOP 12 est d'environ 0.2S alors qu'il est de quelques 100 ~~ps~~ pour un instruction CRU.

Les donnees a envoyer sont sur 8 bits.Le TEK 4052A ne possedant pas d'ASCII etendu,on est amene alors a coder la donnee en deux caracteres ASCII:

-l'un identifiera les 7 bits de poids faible

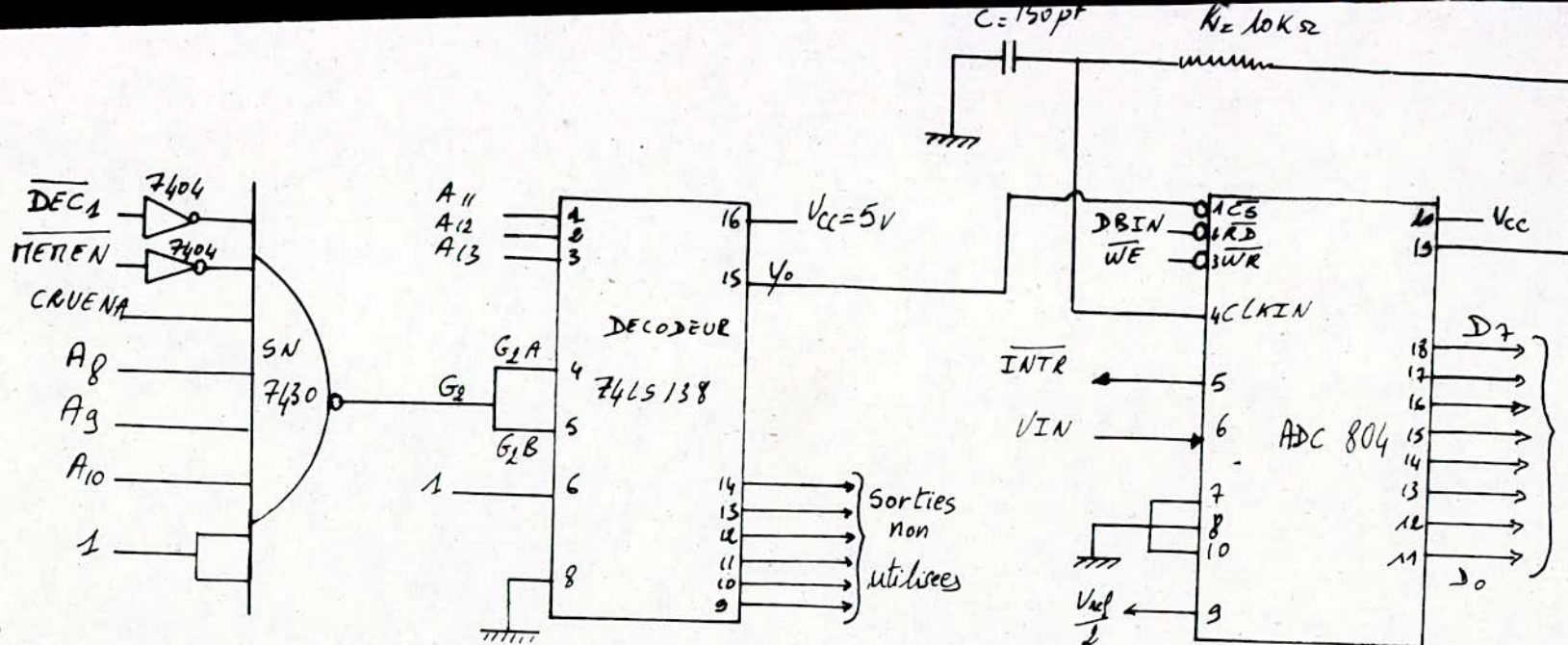
-l'autre pour l'identification de l'état du Bième bit

-Dans le cas d'une liaison carte TM-calculateur possedant l'ASCII etendu (exemple IBM PC),chaque information sera envoyee directement sous forme d'un seul caractere ASCII.

La reception des donnees par le calculateur peut se faire de deux manieres:

-ecriture sur fichier:le calculateur ouvre un fichier ou les donnees seront directement sauvegardees et lues par la suite.

-reception et manipulation des donnees a l'aide d'instructions d'E/S en language evolue.



Vers la carte μ-processeur

$$* \begin{cases} D_7 = NSB \\ D_0 = LSB \end{cases}$$

circuit de décodage adresse

- figure 3-8 -

CHAPITRE 4

INTRODUCTION

Ce chapitre traite de la méthode de détection de l'enveloppe du signal physiologique ainsi que des différents algorithmes mis au point pour la détection des paramètres de la pression artérielle. Le choix de l'un des algorithmes sera imposé par:

- sa facilité de transplantation sur carte **PC** de bas niveau
- son temps d'exécution minimal
- son occupation mémoire réduite

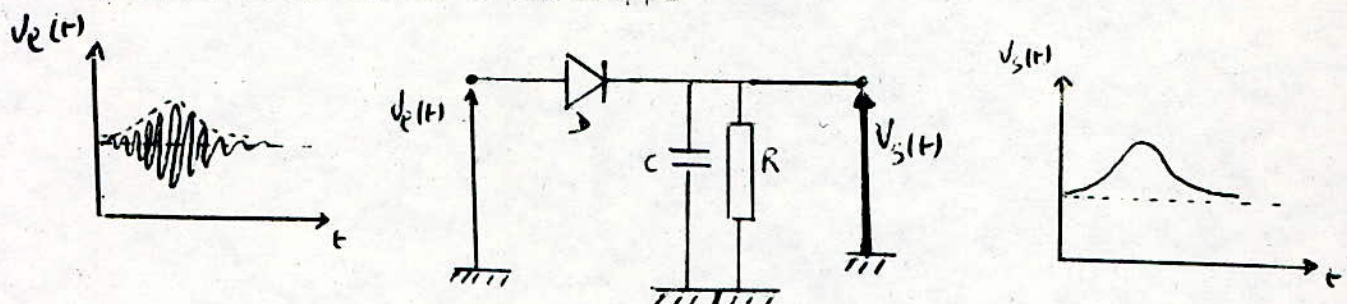
Pour faciliter le choix et la validité des méthodes présentées, une base de données constituée des différents signaux et informations ((P_s, P_d) mesures avec stéthoscope, $F(t), f_i(t)$) a été établie. (100 cas)

L'information à traiter étant l'enveloppe du signal $f_i(t)$ son extraction sera assurée par un détecteur d'enveloppe implanté sur calculateur.

Détecteur d'enveloppe

Le signal physiologique $f_i(t)$ peut être considéré comme un signal modulé en amplitude avec une composante RF, $f_i(t)$, et une composante BF, l'enveloppe du signal physiologique (qu'on appellera $V_i(t)$).

Pour récupérer $V_i(t)$ il faudra donc faire une détection à l'aide d'un discriminateur d'enveloppe.



Le discriminateur présenté ci-dessus sera réalisé par calculateur.

- Le redressement consistera en la mise à 0 de toutes les valeurs, de $f_i(t)$, inférieures à 2 volts. Ces 2 volts correspondent à la valeur d'offset ajoutée à $f_i(t)$ pour la situer sur la plage de fonctionnement du CA/N.
- le filtrage est assuré par un filtre numérique passe-bas d'ordre 2.

4.1 STRUCTURE DU FILTRE NUMÉRIQUE RÉALISÉ

Pour la synthèse du filtre nous avons utilisé la méthode de l'invariance impulsionnelle et la transformation bilinéaire. [8] Cette méthode nous permettra de bénéficier:

- de la même réponse, au points d'échantillonnage, que le filtre analogique associé
- bénéficier d'une réponse amplitude-fréquence se rapprochant

le plus possible de celle observée pour le filtre analogique associé

-beneficier d'un temps de calcul court relativement aux autres méthodes de synthèse

-d'une facilité de mise en forme et de programmation de l'équation de récurrence du filtre

La fonction de transfert du filtre analogique à convertir est donnée par :

$$G(s_n) = \frac{1}{1 + 2\zeta s_n + s_n^2}$$

$$s_n = j(\omega/\omega_0)$$

ω_0 = fréquence de coupure

$\zeta = K \xi$ = coefficient d'amortissement

Par le biais de la transformation bilinéaire on pose :

$$s_n = K(z-1)/(z+1)$$

K exprime le facteur d'adaptation en fréquence (son rôle est l'élimination des distorsions sur l'axe des fréquences). Il permet de faire correspondre les réponses en fréquence du filtre analogique pour $\omega_a = \omega_{ao}$ et du filtre numérique pour $\omega_d = \omega_{do}$. Il sera fixé en établissant une correspondance entre les fréquences de coupure à -3 dB des filtres analogique et numérique.

$$K = 1 / (\tan(\omega_d/2 \cdot F_e)) = 3650$$

ω_d : pulsation de coupure du filtre numérique $\omega_d = 0,3 \cdot \pi$

F_e : fréquence d'échantillonnage du signal physiologique (30 Hz)

Après avoir remplacé s_n dans la fonction de transfert normalisée on aboutit à l'équation de la fonction de transfert du filtre numérique :

$$\frac{Y(z)}{X(z)} = G(z) = \frac{z^2 + 2\zeta z + 1}{A z^2 + B z + C}$$

$$\begin{aligned} A &= 1 + 2\zeta K + K^2 \\ B &= 2[1 - K^2] \\ C &= 1 - 2\zeta K + K^2 \end{aligned}$$

On en déduit la relation de récurrence à implanter sur calculateur :

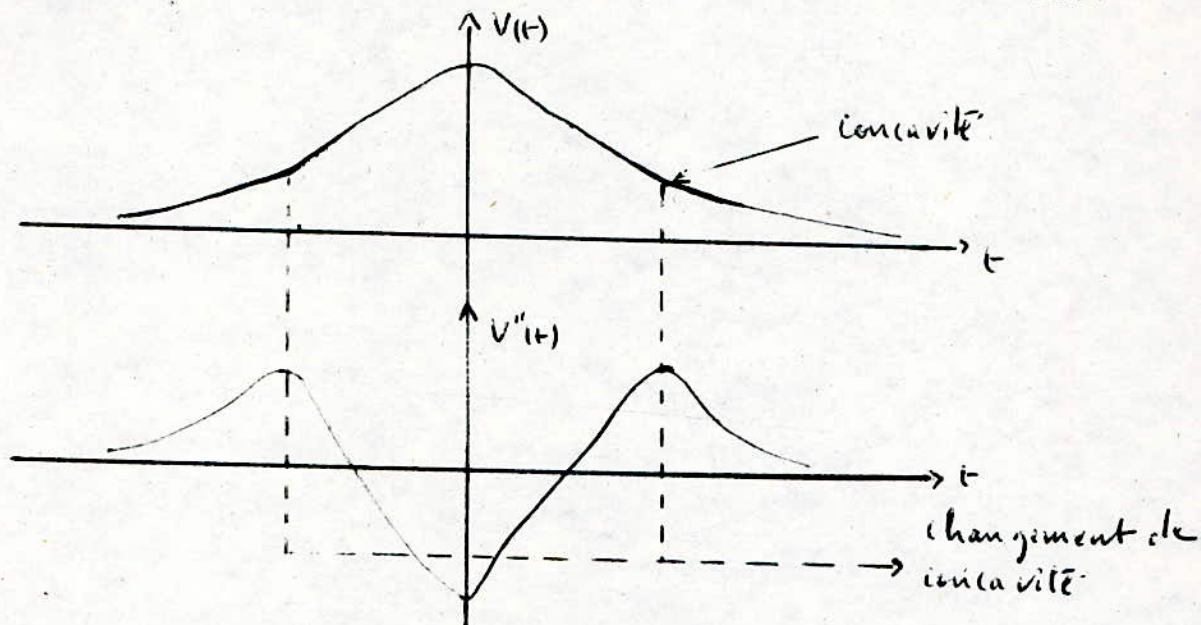
$$y(n) = \frac{1}{C} [x(n) + 2x(n-1) + x(n-2) - Ay(n-2) - By(n-1)]$$

Le coefficient d'amortissement $K \xi$ sera choisi = 0,7

4.2 ALGORITHME DE TRAITEMENT DU SIGNAL PHYSIOLOGIQUE

Dans le but de déterminer les 3 paramètres de pression artérielle P_s, P_m, P_d à partir de l'enveloppe du signal $f_i(t)$, on a été amené à chercher un critère mathématique permettant la détermination des changements de pente de la courbe du signal indiqué. P_s et P_m, P_d seront directement déduits de la courbe.

L'étude du tracé de la courbe d'enveloppe nous permet de remarquer que les concavités recherchées correspondent aux deux Max de la dérivée seconde de la fonction. (figure ci-dessous)



Les algorithmes de traitement du signal d'enveloppe seront basés sur la détermination de la dérivée seconde du dit signal.

4.2.1 OBTENTION DE LA DERIVÉE DE V

Les différentes méthodes employées pour aboutir à V'' reposent essentiellement sur l'approximation de la courbe étudiée par un polynôme et l'utilisation de l'interpolation.

4.2.2 MÉTHODE DES ACCROISSEMENTS FINIS [9]

Si (x_1, \dots, x_n) sont les valeurs de la variable X et (y_1, \dots, y_n) sont les valeurs de la variable Y tel que $y_i = Y(x_i)$ et $x_{i+1} = x_i + h$ alors:

$$y'(x) = \lim_{h \rightarrow 0} \frac{y(x+h) - y(x)}{h}$$

Dans notre cas en prenant un pas très petit on aura:

$$y'(x) = \frac{y(x+h) - y(x)}{h}$$

En prenant $H=1$ on aura $y'(x) = y(x+1) - y(x)$

$$y''(x) = y''(x+1) - y'(x)$$

Ce qui donne :

$$y''(x) = y(x+2) - 2y(x+1) + y(x)$$

4.2.3 MÉTHODE DE TAYLOR [9]

Le développement de la fonction $F(x+h)$ par la méthode de TAYLOR

jusqu'à l'ordre N donner:

$$f(x+h) = f(x) + \frac{1}{1!} h f'(x) + \frac{1}{2!} h^2 f''(x) + \dots + \frac{1}{n!} h^n f^{(n)}(x)$$

En faisant un développement limite du deuxième ordre on obtient:

$$f(x+h) = f(x) + h f'(x) + \frac{h^2}{2} f''(x)$$

$$f(x-h) = f(x) - h f'(x) + \frac{h^2}{2} f''(x)$$

D'où:

$$f''(x) = \frac{f(x+h) - 2f(x) + f(x-h)}{h^2}$$

Pour $h=1$ on tire:

$$f''(x) = f(x+1) - 2f(x) + f(x-1) \quad (\text{sur 3 points})$$

En suivant le même raisonnement pour 5, 7 et 9 points on obtient:

$$f''(x) = f(x-2) + f(x-1) - 4f(x) + f(x+1) + f(x+2) \quad \text{pour 5 points}$$

$$f''(x) = f(x-3) + \dots - 6f(x) + \dots + f(x+3) \quad \text{Pour 7 points}$$

$$f''(x) = f(x-4) + \dots - 8f(x) + \dots + f(x+4) \quad \text{pour 9 points.}$$

4.2.4 METHODE DE FOURIER [10]

Si $F(x)$ est périodique de période $2L$, son développement en série de FOURIER dans l'intervalle $[a, a+2L]$ est :

$$f(x) = \frac{a_0}{2} + \sum_{j=1}^m (a_j \cos(j\pi x/L) + b_j \sin(j\pi x/L))$$

$$a_0 = \frac{1}{L} \int_a^{a+2L} f(x) dx$$

$$a_j = \frac{1}{L} \int_a^{a+2L} f(x) \cos(j\pi x/L) dx, \quad b_j = \frac{1}{L} \int_a^{a+2L} f(x) \sin(j\pi x/L) dx$$

Sous forme discrète:

$$a_0 = \frac{1}{L} \sum_{x=a}^{a+2L} f(x)$$

$$a_j = \frac{1}{L} \sum_{x=a}^{a+2L} f(x) \cos(j\pi x_i), \quad b_j = \frac{1}{L} \sum_{x=a}^{a+2L} f(x) \sin(j\pi x_i)$$

Dans notre cas on a:

$$X = \{1, 2, \dots, N\} \quad F(i) = Y(i)$$

$$a=1 \text{ et } a+2L=N$$

4.3 DERIVATION DU POLYNOME D'INTERPOLATION DE LAGRANGE [11]

La méthode de Lagrange s'applique pour des points équidistants.

Soient les points x_0, x_1, \dots, x_n tel que:

$$x_{i+1} - x_i = h \quad i=0, 1, \dots, n-1$$

Soient les valeurs connues $y_i = Y(x_i)$

Le polynôme d'interpolation de LAGRANGE pour les points x_i est:

$$L_n(x) = \sum_{i=0}^n \frac{(-1)^{n-i} y_i}{i! (n-i)!} \left[\frac{q(q-1)\dots(q-n)}{q-i} \right] \quad \text{avec } q = \frac{x-x_0}{h}$$

$$Y''(x) \approx L_n''(x) = \frac{1}{h^2} \sum_{i=0}^n \frac{(-1)^{n-i} y_i}{i! (n-i)!} \cdot \frac{d^2}{dq^2} \left\{ \frac{q(q-1)\dots(q-n)}{q-i} \right\}$$

$$\text{Pour } h=1 \text{ et } x=x_m : Y''(x_m) = \sum_{i=0}^m \frac{(-1)^{m-i} y_i}{i! (m-i)!} \cdot \frac{d^2}{dq^2} \left\{ \frac{q(q-1)\dots(q-n)}{(q-i)} \right\}_{q=n}$$

4.4 DERIVATION DU POLYNOME D'INTERPOLATION DE NEWTON [12]-[13]

Soit F une fonction définie pour N abscisses distinctes

x_1, x_2, \dots, x_n où elle prend les valeurs $y_i = F(x_i)$

$$\text{Avec } x_{i+1} - x_i = h \quad i=1, 2, \dots, n$$

Le polynôme d'interpolation de NEWTON est donné par:

$$P(t) = A(1) + A(2)(x - x(1)) + \dots + A(n)(x - x(1)) \dots (x - x(n-1))$$

$$A(1) = y(1)$$

$$A(2) = \Delta y_1/h$$

$$A(3) = \Delta^2 y_1/(2! h^2)$$

:

$$A(n) = \frac{\Delta^{n-1} y_1}{(n-1)! h^{n-1}}$$

Avec:

$$\Delta y_1 = y_2 - y_1$$

$$\Delta^2 y_1 = \Delta y_2 - \Delta y_1$$

$$\Delta^3 y_1 = \Delta y_3 - \Delta y_2$$

$$\Delta^4 y_1 = \Delta y_4 - \Delta y_3$$

:

$$y_2 = y_3 - y_2$$

$$\Delta^2 y_2 = \Delta y_3 - \Delta y_2$$

$$\Delta^3 y_2 = \Delta y_4 - \Delta y_3$$

$$\Delta y_3 = y_4 - y_3$$

$$\Delta^2 y_3 = \Delta y_4 - \Delta y_3$$

$$\Delta y_4 = y_5 - y_4$$

En posant:

$$c_1 = 1$$

$$c_2 = x - x(1) = c_1(x - x(1))$$

$$c_3 = (x - x(1))(x - x(2)) = c_2(x - x(2))$$

$$c_4 = c_3(x - x(3))$$

!!

!!

$$c_i = c_{i-1}(x - x(i-1))$$

!!

!!

$$C_n = C_{n-1}(x - X(n-1))$$

Le polynôme de NEWTON devient:

$$P(x) = A(1)C_1 + A(2)C_2 + \dots + A(n)C_n$$

$$Y'(x) = P'(x)$$

$$\frac{d C_i}{dx} = \frac{d C_{i-1}}{dx} (x - (x_{i-1})) + C_{i-1}$$

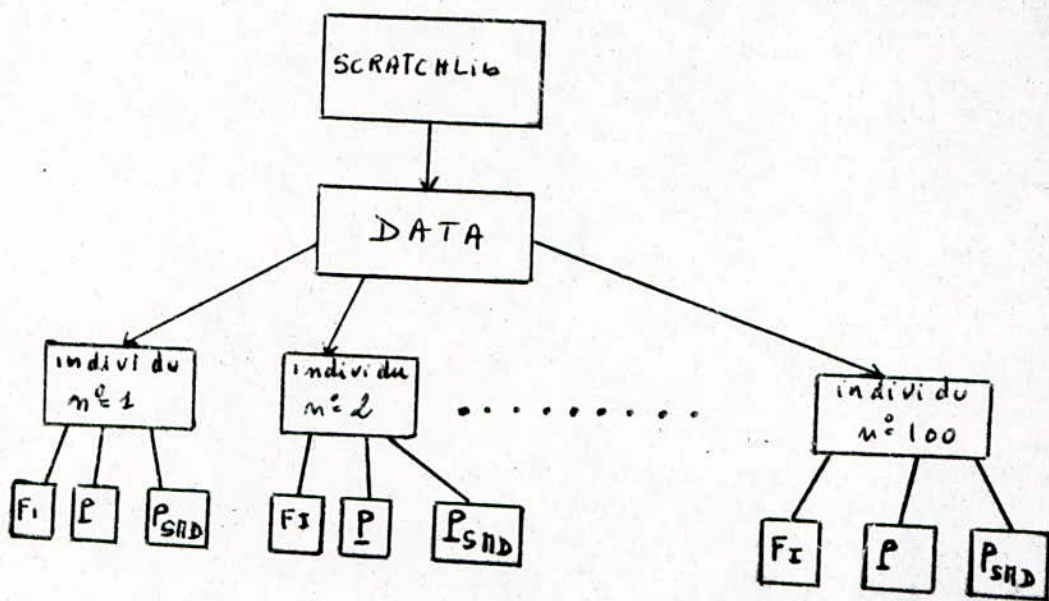
$$\frac{d^2 C_i}{dx^2} = \frac{d^2 C_{i-1}}{dx^2} (x - (x_{i-1})) + \frac{d C_{i-1}}{dx}$$

$$\Rightarrow Y''(x) \cong P''(x) = A(1) \frac{d^2 C_1}{dx^2} + A(2) \frac{d^2 C_2}{dx^2} + \dots + A(n) \frac{d^2 C_n}{dx^2}$$

Pour conclure sur la méthode à adopter en vue de son implantation sur une carte micro-processeur de bas niveau :

nous nous sommes constitué une base de données de 100 personnes sur les signaux physiologique desquels nous avons testé ces méthodes

4.5 Constitution de la base de données



F_1 : composante physiologique

P : composante pneumatique

P_{SRD} : Pression systolique, diastolique et moyenne mesurées au stéthoscope.

On peut voir sur les figures 4-1 ; 4-1 bis
4-2 ; 4-2 bis
4-3 ; 4-3 bis

les signaux physiologiques ; l'enveloppe associée, la dérivée seconde de la fonction caractérisant l'enveloppe par les différentes méthodes :

... / ...

~ Approximations finies

- Newton
- Lagrange
- Taylor

4.6 Interprétation des résultats

4.6.1 - Méthode des approximations finies

- ~ C'est la plus simple à programmer
- ~ Elle nécessite une occupation mémoire minimale
- ~ Temps de calcul très rapide ("C'est le plus rapide")
- ~ Mais elle est peu précise : la dérivée seconde ne suit pas exactement les changements de pente de $V(t)$.

4.6.2 - Méthode de Newton

- ~ Elle présente un temps d'exécution assez rapide
- ~ Capacité mémoire importante pour le calcul des différents coefficients du polynôme d'interpolation.
- ~ Une programmation facile puisqu'elle utilise une formulation récursive.

L'inconvenient constaté est son domaine de validité en effet : les premières et dernières valeurs du polynôme d'interpolation et de sa dérivée seconde sont erronées.

Pour cela une troncature doit être établie sur les premières et dernières valeurs des fonctions considérées (l'ordre de la troncure n'étant pas constant).

Dans le cas où la troncature est bonne, les résultats s'approchent assez des valeurs réels.

4.6.3 - Méthode de Lagrange

- ~ C'est la méthode la plus difficile à programmer
- ~ Elle nécessite une occupation mémoire importante.
- ~ Un temps de calcul long

Les résultats obtenus en fonction de la dérivée seconde ne reflètent pas la réalité

4.6.4 - Méthode de Fourier

L'ordre optimum, du développement de la fonction d'interpolation en série, est obtenu pour $m=3$.

En effet pour $m=3$ la fonction de Fourier déterminée se superpose parfaitement à l'enveloppe du signal physiologique.

Pour $m \neq 3$ l'enveloppe V et la fonction de Fourier déterminée ne se superposent pas correctement.

~ Les résultats donnés par cette méthode sont proches de la réalité

~ Seuls inconvénients:

- Temps d'exécution long
- Occupation mémoire importante du fait qu'il faut passer par le calcul des coefficients A_i et B_i de la fonction de Fourier

- C'est une méthode facilement programmable.
- avec un temps d'exécution très rapide et une occupation mémoire réduite.
- Les résultats donnés par la méthode sont très proches de celles mesurées pratiquement.

Conclusion:

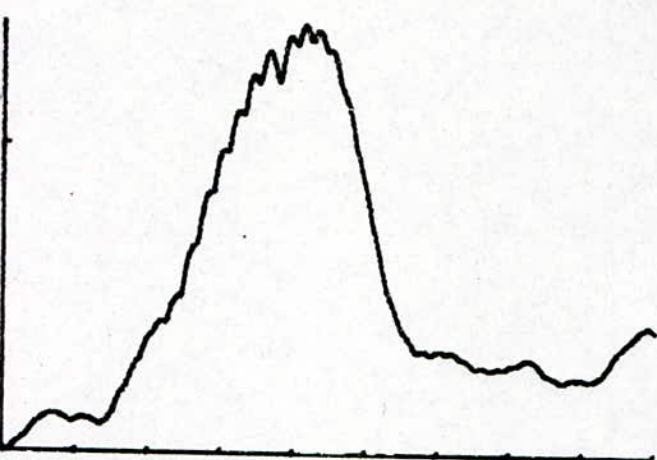
Trois (3) méthodes sortent du lot:

- Méthode de Taylor
- Méthode de Fourier
- Méthode de Newton

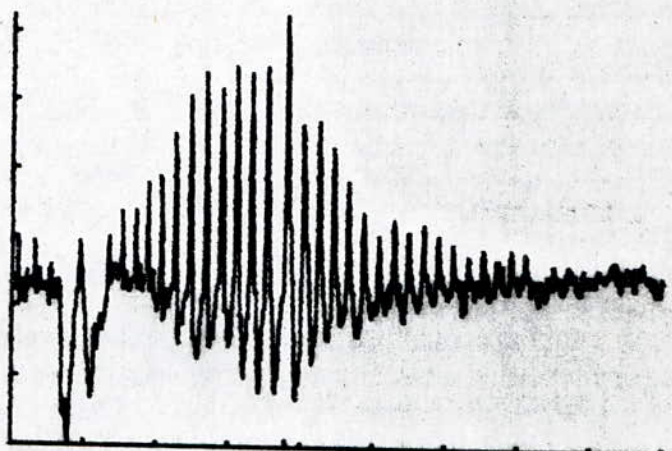
Cependant la méthode de Newton présente un problème majeur : La troncature n'est pas fixe (varie d'un individu à l'autre)

- La méthode de Fourier donne de bons résultats, cependant son inconvénient est l'espace mémoire important qu'elle occupe.
- La méthode de Taylor présente l'avantage d'être rapide, facile à programmer et occupe un espace mémoire réduit.

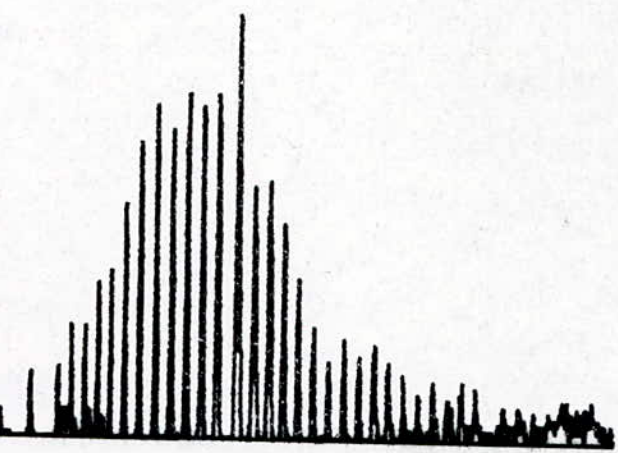
C'est celle que nous utiliserons.



ENVELOPPE DE $f_i(t)$

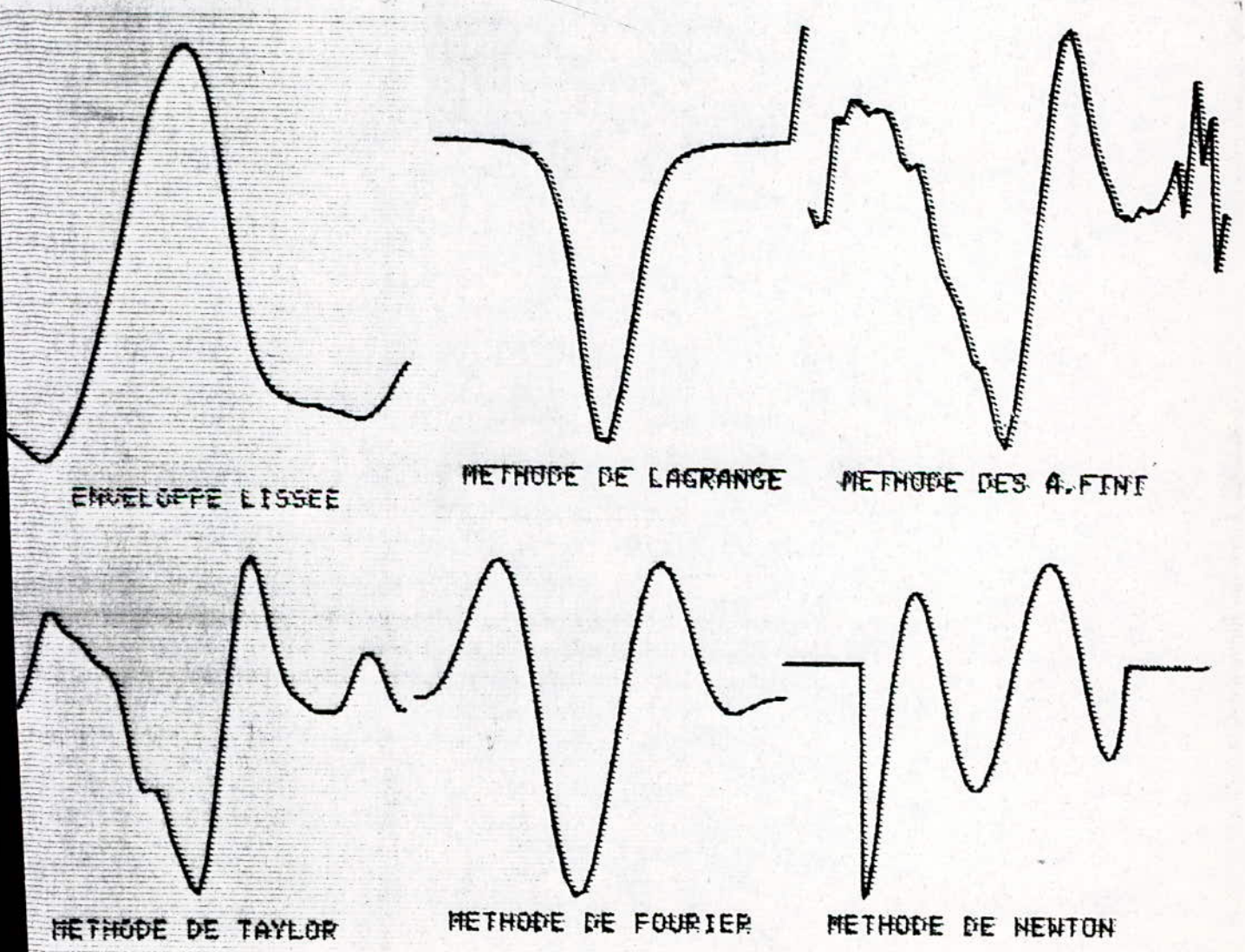


SIGNAL $f_i(t)$

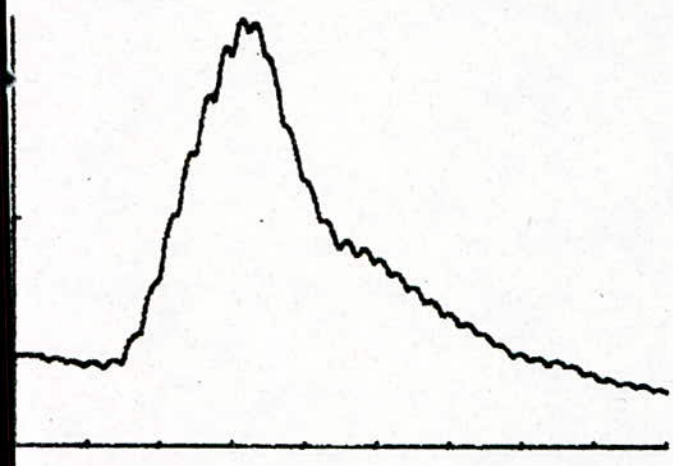


SIGNAL $f_i(t)$ TRONQUÉ

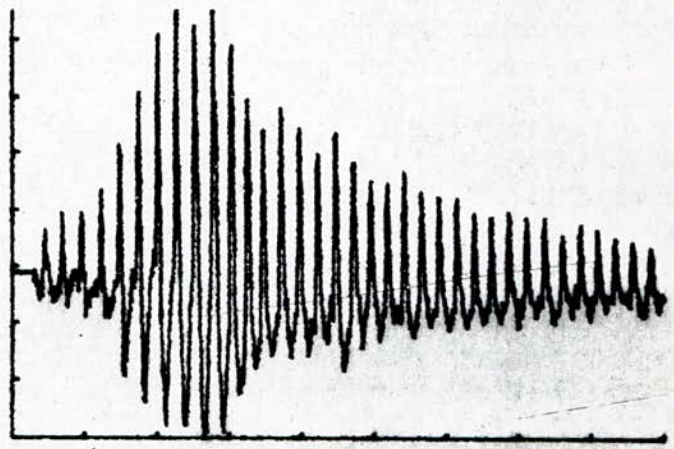
cas n° 1



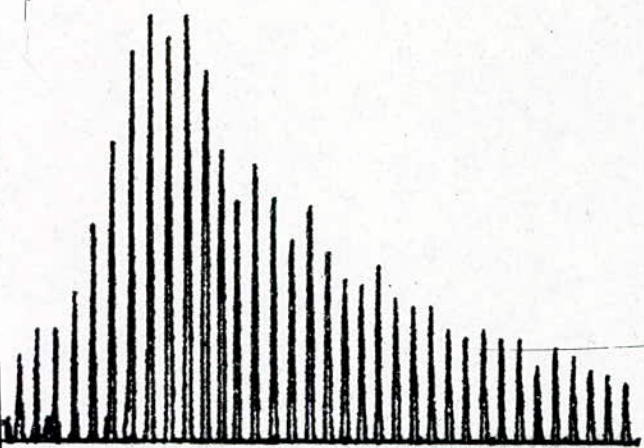
Cas n° 1 (bis)



ENVELOPE DE $f_i(t)$

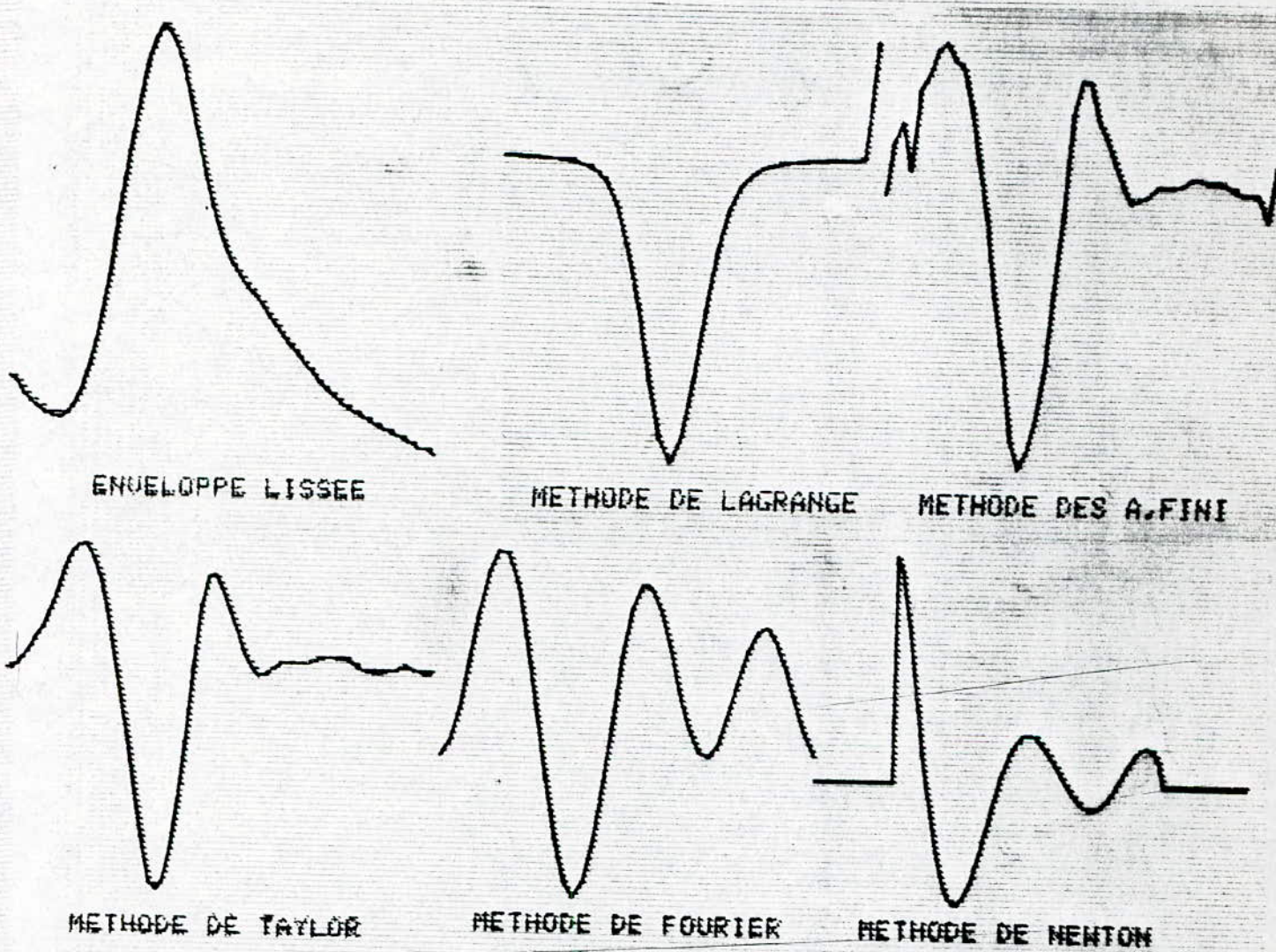


SIGNAL $f_i(t)$

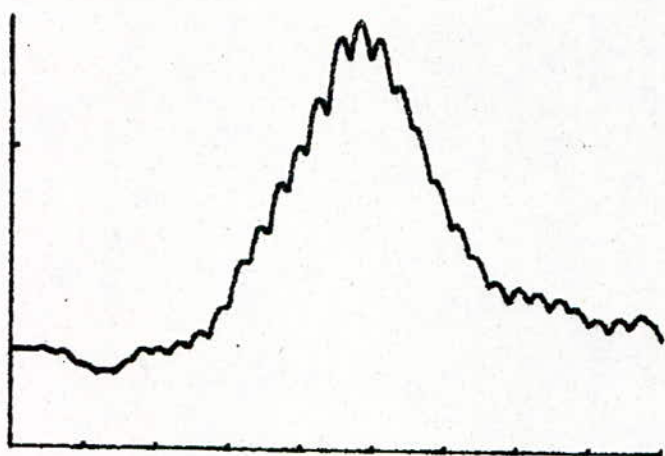


SIGNAL TRONQUÉ

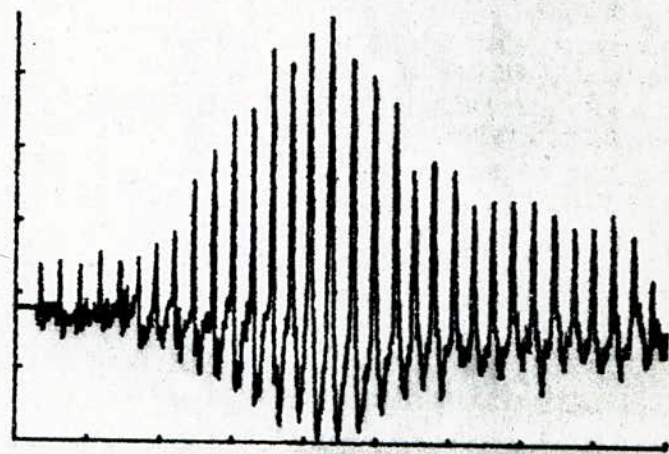
Cas n° 2



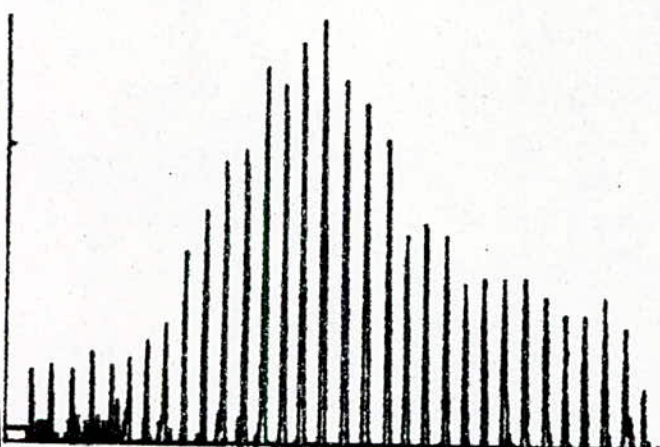
Cas n^e 2 (h.s)



ENVELOPPE DE $f_i(t)$

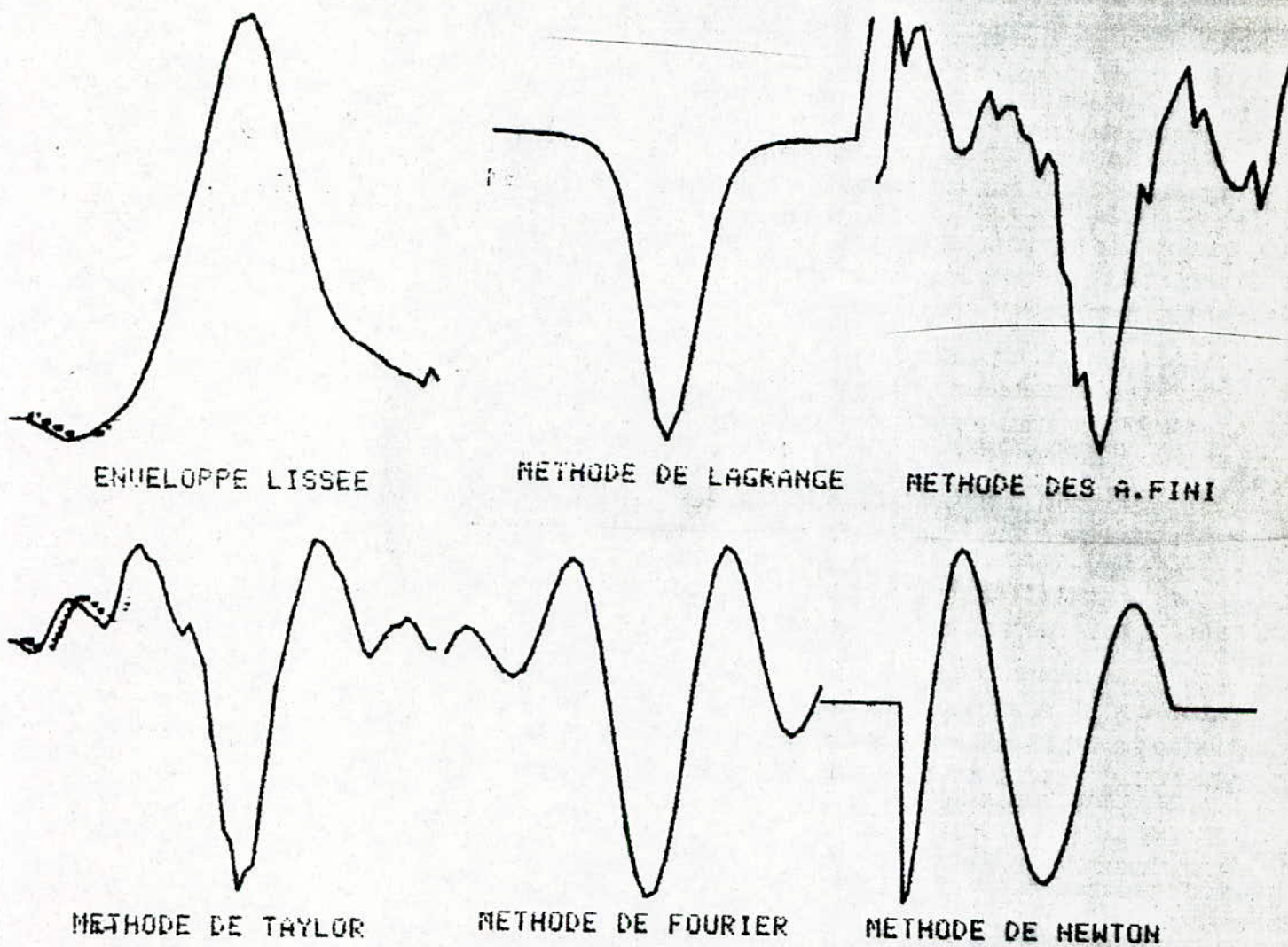


SIGNAL $f_i(t)$



SIGNAL TRONQUÉ

cas $n = 3$



cas n° 3 (bis)

	Mesure au stéthoscope		Méthode de Newton		Méthode des A. finis		Méthode de Lagrange		Méthode de TAYLOR		Méthode de Fourier.	
	P_S	P_D	P_S	P_D	P_S	P_D	P_S	P_D	P_S	P_D	P_S	P_D
Cas n°1	120	90	118	98	148,4	99,7	118,7	120,8	120,8	97,6	115,5	97,6
Cas n°2	122	70	131,4	67,8	198,2	93,3	135,2	117,8	144	82	151,8	74
Cas n°3	135	55	116,6	64,7	224,7	116,6	222,9	131,6	133,5	63,6	129,3	62,5

Résultat par les différentes méthodes.

- CONCLUSION -

L'analyse temporelle et fréquentielle du signal pneumatique, la stimulation de l'ensemble (ou partie) de la carte réalisée ont permis:

- d'optimiser le choix de la méthode d'extraction de la composante physiologique.
- Un gain de temps dans l'élaboration des algorithmes de traitement à implanter sur carte μP (TM 990/189)

Le système réalisé peut fonctionner de façon autonome ou en liaison avec un calculateur.

L'intérêt visé étant non seulement la mesure des paramètres de pression artérielle, mais aussi de fournir en plus les formes du signal physiologique qui pourraient être révélatrices d'anomalies cardiaques.

C'est ainsi qu'une possible communication série avec tout calculateur hôte, possédant un port de communication série a été envisagé afin de permettre :

- ~ Des traitements spécifiques (statistiques, profils tensoriels, ...)
 - ~ La visualisation et la sauvegarde de toutes les informations recueillies (ce qui peut se révéler intéressant lors du suivi d'un traitement)
-
-
-

ANNEXE

35 REM "GENERATION DE SPECTRE"
 20 INIT
 25 PAGE
 100 DIM Y2(512), A1(257), P1(257), Y2(512), A2(257), P2(257), Q\$(175)
 110 PRINT "QUEL EST VOTRE FICHIER ?"
 120 INPUT F
 130 FIND F
 140 READ B30; Q\$, Y1
 150 PRINT "QUEL EST VOTRE FICHIER ?"
 160 INPUT D
 165 FIND D
 170 REGD 813; Q\$, Y2
 180 D=1
 190 D=1
 200 CALL "FFT", Y1
 210 CALL "FOLAR", Y1, D1, P1, D1
 220 A1=COS(D1)
 230 CALL "MAX", A1, N1, I1
 240 CALL "MIN", A1, N2, I2
 250 VTFPORT 0, 130, 5, 45
 260 WINDON -20, 257, -N1/8, N1
 270 N1=5, N1=14, 74
 280 FOR I=1 TO 257
 290 D=PI/N
 300 D=D*RAD(0, A1*I)
 310 NEXT I
 320 FOR I=1 TO 5
 330 D=PI/185.5-20, -N1/10
 340 I=7-K*51
 350 A1=SIN(I/2*(512/50)/257)
 360 D1=SIN(A1, I, 5)
 370 B=NPI/100
 380 PRINT B
 390 NEXT I
 40 CALL "FFT", Y2
 41 CALL "FOLAR", Y2, D2, P2, D2
 42 A2=COS(D2)
 43 CALL "MAX", A2, N3, I3
 44 CALL "MIN", A2, N4, I4
 45 VTFPORT 0, 130, 50, 100
 46 WINDON -20, 257, -N3/8, N3
 47 A1=COS(I2, N3/4)
 48 FOR I=1 TO 257
 49 D=PI/N
 50 D=D*RAD(0, A2*I)
 51 NEXT I
 52 FOR I=1 TO 5
 53 D=PI/185.5-20, -N3/10
 54 I=7-K*51
 55 A1=SIN(I/2*(512/50)/257)
 56 D1=SIN(A1, I, 5)
 57 B=NPI/100
 58 PRINT B
 59 END

```
90 REM "PROG FFT"
95 PAGE
100 DIM Y1(512),A1(257),A2(257),A3(257),Q$(175),Y2(512),Y3(512)
105 DIM P1(257),P2(257),P3(257)
110 PRINT "QUEL EST VOTRE FICHIER"
112 INPUT F1
114 FIND F1
115 READ Q33:Q$,Y1
116 PRINT "QUEL EST VOTRE FICHIER"
118 INPUT F2
120 FIND F2
122 READ Q33:Q$,Y2
124 PRINT "QUEL EST VOTRE FICHIER"
125 INPUT F3
126 FIND F3
128 READ Q33:Q$,Y3
130 D1=1
132 D2=1
134 D3=1
136 CALL "FFT",Y1
138 CALL "POLAR",Y1,A1,P1,D1
140 A1(1)=0
142 CALL "FFT",Y2
144 CALL "POLAR",Y2,A2,P2,D2
146 A2(1)=0
148 CALL "FFT",Y3
150 CALL "POLAR",Y3,A3,P3,D3
154 A3(1)=0
156 CALL "MAX",A1,N1,I1
160 VIEWPORT 0,130,5,35
162 WINDOW -20,257,-N1/10,N1
164 AXIS 51,N1/4
166 FOR N=1 TO 257
167     MOVE N,0
168     RDRAW 0,A1(N)
170 NEXT N
172 FOR K=0 TO 257 STEP 50
174     MOVE K-15,-N1/10
176     A$=STR(K*(512/50)/257)
178     D$=SEG(A$,1,5)
179     B=VAL(D$)
180     PRINT B
182 NEXT K
200 MOVE 110,N1*3/4
202 PRINT "DEGONFLAGE A L'AIDE DE L'ELECTROVANNE"
205 CALL "MAX",A2,N2,I2
210 VIEWPORT 0,130,40,70
220 WINDOW -20,257,-N2/8,N2
230 AXIS 51,N2/4
240 FOR N=1 TO 257
245     MOVE N,0
```

```
250 RDRAW 0,A2(N)
260 NEXT N
280 FOR K=0 TO 257 STEP 50
290 MOVE K-15,-N1/8
300 A$=STR(K*(512/50)/257)
310 D$=SEG(A$,1,5)
320 B=VAL(D$)
330 PRINT B
340 NEXT K
342 MOVE 120,3/4*N2
344 PRINT "DEGONFLAGE TRES RAPIDE"
350 CALL "MAX",A3,N3,I3
360 VIEWPORT 0,130,75,100
370 WINDOW -20,257,-N3/9,N3
380 AXIS 51,N3/4
390 FOR N=1 TO 257
395 MOVE N,0
400 RDRAW 0,A3(N)
410 NEXT N
420 FOR K=0 TO 257 STEP 50
430 MOVE K-15,-N3/9
440 A$=STR(K*(512/50)/257)
450 D$=SEG(A$,1,5)
460 B=VAL(D$)
470 PRINT B
480 NEXT K
500 MOVE 120,N3*3/4
510 PRINT "DEGONFLAGE TRES LENT"
```

```

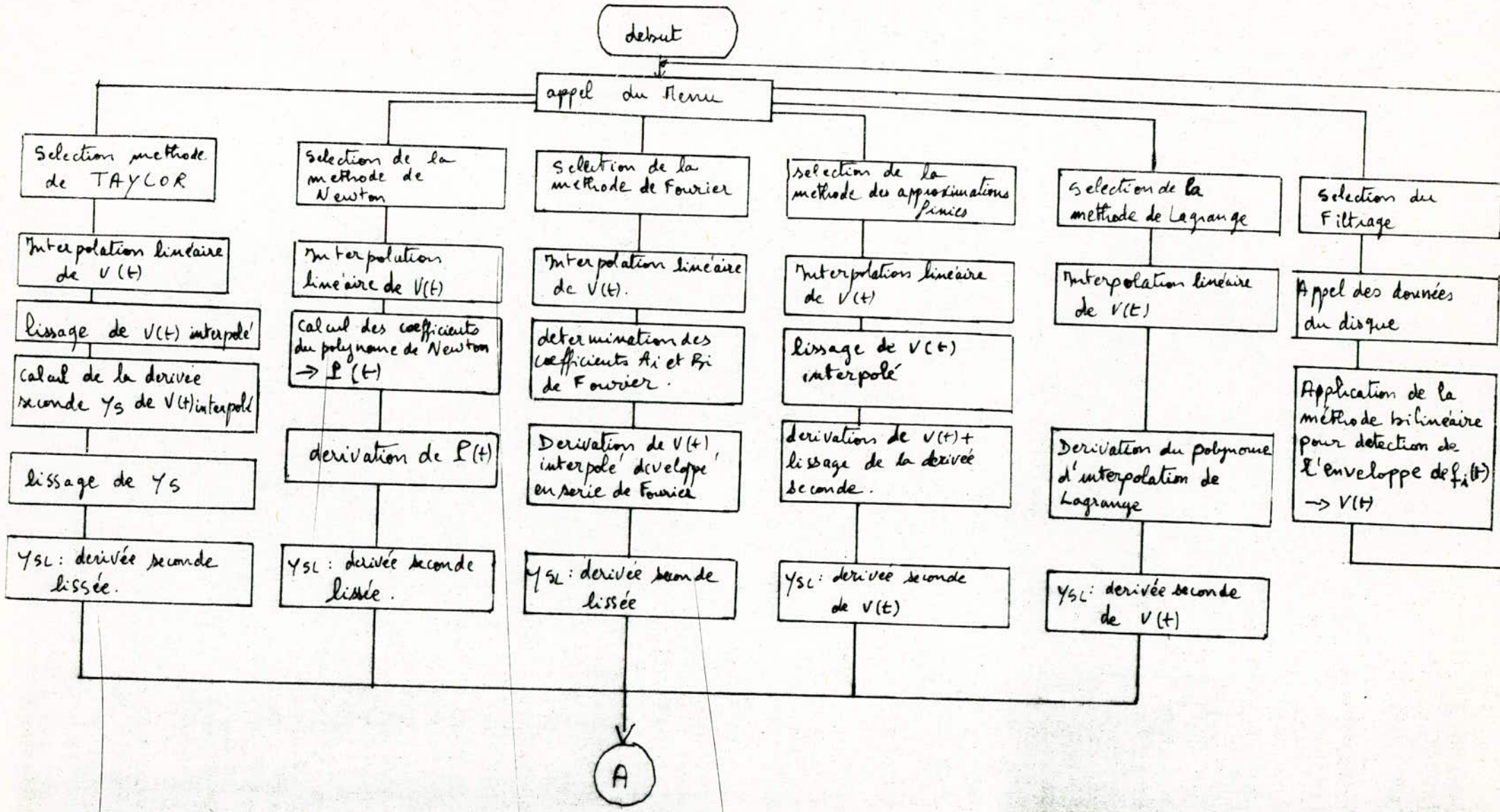
90 REM      "LISSAGE SUR N POINTS"
92 INIT
95 PAGE
100 DIM Q$(175),Y1(512),A(512),B(512),C(512),Dif1(512),Dif2(512)
105 DIM Dif3(512)
110 FIND 21
120 READ Q$33:Q$,Y1
130 A=0
135 Dif1=0
140 B=0
145 Dif2=0
150 C=0
155 Dif3=0
160 FOR I=4 TO 509
170     A(I)=(Y1(I)+Y1(I-3)+Y1(I-2)+Y1(I-1)+Y1(I+1)+Y1(I+2)+Y1(I+3))/7
180 NEXT I
190 FOR J=4 TO 509
200     Dif1(J)=Y1(J)-A(J)
210 NEXT J
215 CALL "MAX",Y1,S,D
217 CALL "MIN",Y1,S1,D1
220 VIEWPORT 0,130,0,30
221 WINDOW 4,509,S1,S
222 MOVE 75,S*3/4
223 PRINT " LISSAGE SUR 7 POINTS"
230 CALL "MAX",Y1,S,D
240 CALL "MIN",Y1,S1,D1
250 WINDOW 4,509,S1,S
255 AXIS 100,S
260 FOR I=4 TO 509
270     DRAW I,Y1(I)
275     MOVE I,A(I)
280     DRAW I,A(I)
290 NEXT I
300 VIEWPORT 65,130,15,30
310 CALL "MAX",Dif1,U1,M1
320 CALL "MIN",Dif1,U2,M2
330 WINDOW 4,509,U2,U1
335 AXIS 100,U1/4
340 FOR I=4 TO 509
350     DRAW I,Dif1(I)
360 NEXT I
365 FOR I=5 TO 508
370     Ad=Y1(I)+Y1(I-3)+Y1(I-2)+Y1(I-1)+Y1(I+1)+Y1(I+2)+Y1(I+3)
372     B(I)=(Ad+Y1(I-4)+Y1(I+4))/9
380 NEXT I
390 FOR J=5 TO 508
400     Dif2(J)=Y1(J)-B(J)
410 NEXT J
420 VIEWPORT 0,130,35,65
422 MOVE 75,30*3/4

```

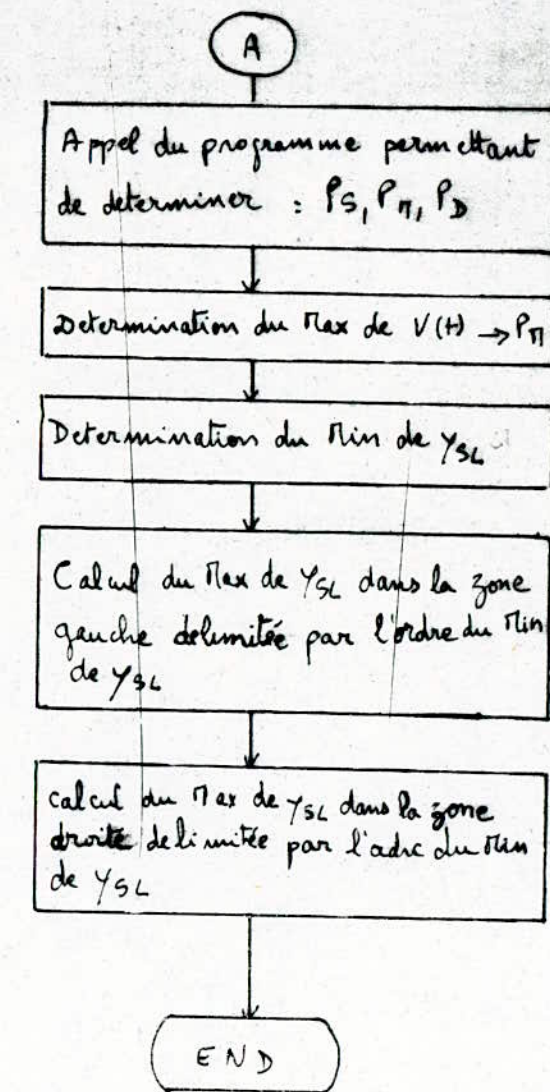
```
423 PRINT " LISSAGE SUR 9 POINTS"
450 WINDOW 4,509,S1,S
455 AXIS 100,S
460 FOR I=5 TO 508
470   DRAW I,Y1(I)
475   MOVE I,B(I)
480   DRAW I,B(I)
490 NEXT I
500 VIEWPORT 65,130,45,60
510 CALL "MAX",Dif2,U3,M3
520 CALL "MIN",Dif2,U4,M4
530 WINDOW 5,508,U4,U3
535 AXIS 100,U1/4
540 FOR I=5 TO 508
550   DRAW I,Dif2(I)
555 NEXT I
565 FOR I=6 TO 507
570   Ae=Y1(I)+Y1(I-3)+Y1(I-2)+Y1(I-1)+Y1(I+1)+Y1(I+2)+Y1(I+3)
572   C(I)=(Ae+Y1(I-4)+Y1(I+4)+Y1(I+5)+Y1(I-5))/11
580 NEXT I
590 FOR J=6 TO 507
600   Dif3(J)=Y1(J)-C(J)
610 NEXT J
620 VIEWPORT 0,130,70,100
622 MOVE 75,30*3/4
623 PRINT " LISSAGE SUR 11 POINTS"
650 WINDOW 4,509,S1,S
655 AXIS 100,S
660 FOR I=6 TO 507
670   DRAW I,Y1(I)
675   MOVE I,C(I)
680   DRAW I,C(I)
690 NEXT I
700 VIEWPORT 65,130,85,100
710 CALL "MAX",Dif3,U5,M5
720 CALL "MIN",Dif3,U6,M6
730 WINDOW 5,508,U6,U5
735 AXIS 100,U1/4
740 FOR I=6 TO 507
750   DRAW I,Dif3(I)
755 NEXT I
```

```
90 REM "PROG GENERATION D'EXP"
100 DIM Y1(512),Q$(175),Fi1(512),Fi2(512),Fi3(512)
110 FIND 18
120 READ Q$3:Q$,Y1
130 CALL "MAX",Y1,V,I
135 CALL "MIN",Y1,Vm,L
140 FOR I=1 TO 512
150     Diff=V-Y1(I)
160     IF Diff>40 THEN 180
170 NEXT I
180 T0=I
190 Tau=15/LOG(V/Y1(I+15))
200 VIEWPORT 0,130,0,30
210 WINDOW I,512,Vm,V
220 AXIS 100,V/4
230 FOR J=I TO 512
240     Fi1(J)=(V-2000)*EXP(-(J-I)/Tau)+2000
250     MOVE J,Fi1(J)
260     DRAW J,Fi1(J)
270 NEXT J
280 CALL "DISP",Y1
282 MOVE 250,V*3/4
283 PRINT "TAU CALCULE SUR UN SEUL POINT"
285 Tau1=0
290 FOR K=T0+15 TO T0+65 STEP 5
300     Tau1=(K-T0)/LOG(V/Y1(K))+Tau1
310 NEXT K
320 Tau1=Tau1/10
330 VIEWPORT 0,130,35,65
340 WINDOW T0,512,Vm,V
350 AXIS 100,V/4
360 FOR J=T0 TO 512
370     Fi2(J)=(V-2000)*EXP(-(J-T0)/Tau2)+2000
380     MOVE J,Fi2(J)
390     DRAW J,Fi2(J)
400 NEXT J
410 CALL "DISP",Y1
420 MOVE 250,V*3/4
430 PRINT "TAU CALCULE SUR 10 POINTS"
440 Tau3=0
450 FOR K=T0+15 TO T0+165 STEP 5
460     Tau3=(K-T0)/LOG(V/Y1(K))+Tau3
470 NEXT K
480 Tau3=Tau3/30
490 VIEWPORT 0,130,70,100
500 WINDOW T0,512,Vm,V
510 AXIS 100,V/4
520 FOR J=T0 TO 512
530     Fi3(J)=(V-2000)*EXP(-(J-T0)/Tau3)+2000
540     MOVE J,Fi3(J)
550     DRAW J,Fi3(J)
560 NEXT J
```

590 CALL "DISP",Y1
600 MOVE 250,V*3/4
610 PRINT "TAU CALCULE SUR 30 POINTS"



1^{er} Partie de l'organigramme général des méthodes de traitement programmées.



2^{ème} partie de l'organigramme général des méthodes de traitement programmées

```
1 REM"MENU"
2 GO TO 100
4 GOSUB 1000
6 RETURN
8 GOSUB 2000
10 RETURN
12 GOSUB 2500
14 RETURN
16 GOSUB 3000
18 RETURN
20 GOSUB 3500
22 RETURN
24 GOSUB 4000
26 RETURN
100 PAGE
105 INIT
110 SET KEY
115 MOVE 60,80
120 PRINT "MENU"
125 MOVE 25,90
130 PRINT "APPUYER SUR UNE TOUCH FONCTION ENTRE 1 ET 6"
135 MOVE 50,70
140 PRINT "1-FILTRAGE"
145 MOVE 50,60
150 PRINT "2-TAYLOR"
155 MOVE 50,50
160 PRINT "3-NEWTON"
165 MOVE 50,40
170 PRINT "4-FOURIER"
175 MOVE 50,30
180 PRINT "5-APPROXIMATIONS FINIES"
185 MOVE 50,20
190 PRINT "6-LAGRANGE"
200 END
1000 OPEN "FILTRAGE";1,"U",A$
1010 APPEND "FILTRAGE";5000,10
1015 CLOSE 1
1020 GOSUB 5000
1030 DELETE 5001,10000
1040 RETURN
2000 OPEN "TAYLOR";1,"U",A$
2010 APPEND "TAYLOR";5000,10
2015 CLOSE 1
2020 GOSUB 5000
2030 DELETE 5001,20000
2040 RETURN
2500 OPEN "NEWTON";1,"U",A$
2510 APPEND "NEWTON";5000,10
2515 CLOSE 1
```

```
2520 GOSUB 5000
2530 DELETE 5001,20000
2540 RETURN
3000 OPEN "FOURIER";1,"U",A$
3010 APPEND "FOURIER";5000,10
3015 CLOSE 1
3020 GOSUB 5000
3030 DELETE 5001,20000
3040 RETURN
3500 OPEN "AFINI";1,"U",A$
3510 APPEND "AFINI";5000,10
3515 CLOSE 1
3520 GOSUB 5000
3530 DELETE 5001,20000
3540 RETURN
4000 OPEN "LAGRANGE";1,"U",A$
4010 APPEND "LAGRANGE";5000,10
4015 CLOSE 1
4020 GOSUB 5000
4030 DELETE 5001,20000
4040 RETURN
5000 PRINT
```

```
5000 REM "FILTRAGE"
5010 DIM P(900),Fi(900)
5020 CALL "USERLIB","DATA"
5030 PRINT "NOM ?"
5040 INPUT N$
5050 CALL "USERLIB",N$
5060 OPEN "FI";1,"U",A$
5070 CALL "REWIND",1
5080 READ #1:Fi
5090 CLOSE 1
5100 OPEN "P";1,"U",A$
5110 CALL "REWIND",1
5120 READ #1:P
5130 CLOSE 1
5140 OPEN "PSDM";1,"U",A$
5150 CALL "REWIND",1
5160 READ #1:Ps,Pd,Vm
5165 CALL "userlib","scratchlib"
5170 CLOSE 1
5190 PAGE
5200 DIM Y1(900),H(900),Tr(900),Y(900)
5210 FOR I=1 TO 900
5220   Y1(I)=Fi(I)
5230 NEXT I
5240 Tr(I)=Y1(I)
5250 FOR K=2 TO 900
5260   Tr(K)=Tr(K-1)+Y1(K)
5270 NEXT K
5280 M=Tr(900)/900
5290 FOR I=1 TO 900
5300   IF Y1(I)>M THEN 5330
5310   Y1(I)=0
5320   GO TO 5340
5330   Y1(I)=Y1(I)-M
5340 NEXT I
5350 H(1)=Y1(1)
5360 H(2)=Y1(2)
5370 PRINT "T="
5380 INPUT T
5390 PRINT "F="
5400 INPUT F
5410 K=0.707
5430 PAGE
5440 K1=1/TAN(2*PI*F*T/2)
5450 A0=1/(1+2*K1*K+K1^2)
5460 A1=2*A0
5470 A2=A0
```

```
5480 B1=2*(1-K1^2)*A0
5490 B2=(1-2*K*K1+K1^2)*A0
5500 FOR J=3 TO 900
5510 H(J)=A0*Y1(J)+A1*Y1(J-1)+A2*Y1(J-2)-B1*H(J-1)-B2*H(J-2)
5520 NEXT J
5530 CALL "MAX",Y1,V1,I1
5540 CALL "MAX",H,V2,I2
5545 Df=I2-I1
5550 My=V1/V2
5560 FOR I=1 TO 900-Df
5570 Y(I)=H(I+Df)*My
5580 NEXT I
5582 FOR I=900-Df+1 TO 900
5585 Y(I)=H(I)*My
5587 NEXT I
5590 VIEWPORT 0,130,0,100
5600 CALL "MAX",Y,U1,I
5610 WINDOW 0,900,0,U1
5620 AXIS 100,1000
5630 FOR I=1 TO 900
5640 DRAW I,Y1(I)
5650 NEXT I
5660 WINDOW 0,900,0,U1
5670 AXIS 100,1000
5680 FOR I=1 TO 900
5690 DRAW I,Y(I)
5700 NEXT I
5710 RETURN
```

```

590 REM "METHODE DE TAYLOR"
600 DIM G(51), Y1(51), Ys(51), Ys1(51)
601 FOR I=1 TO 51
602   G(I)=Y(17*I)
603 NEXT I
604 Y1(1)=G(1)
605 Y1(2)=G(2)
606 Y1(3)=G(3)
607 Y1(51)=G(51)
608 Y1(50)=G(50)
609 Y1(49)=G(49)
610 FOR J=4 TO 48
611   Y1(J)=(G(J-3)+G(J-2)+G(J-1)+G(J)+G(J+1)+G(J+2)+G(J+3))/7
612 NEXT J
613 Ys(2)=0
614 Ys(1)=0
615 Ys(49)=0
616 Ys(51)=0
617 Ys(50)=0
618 Ys(3)=0
619 FOR J=4 TO 48
620   Ys(J)=Y1(J-1)+Y1(J+1)-6*Y1(J)+Y1(J-2)+Y1(J+2)+Y1(J-3)+Y1(J+3)
625 NEXT J
630 Ys1(1)=0
635 Ys1(51)=Ys(51)
668 FOR J=2 TO 50
670   Ys1(J)=(Ys(J-1)+Ys(J)+Ys(J+1))/3
680 NEXT J
682 CALL "MIN", Y1, V5, I
684 CALL "MAX", Y1, V6, I
690 VIEWPORT 0, 45, 55, 100
700 WINDOW 0, 51, V5, V6
701 AXIS 10, V6/10
702 MOVE 1, Y1(1)
710 CALL "DISP", Y1
716 CALL "MAX", Ys1, V4, I
717 CALL "MIN", Ys1, V3, I
720 VIEWPORT 0, 45, 0, 45
723 WINDOW 0, 51, V3, V4
724 AXIS 10, -V3/10
725 MOVE 1, Ys1(1)
730 CALL "DISP", Ys1
740 Nu=51
750 APPEND "DPSDM"; 1000, 10
800 DELETE G, Y1, Ys
1000 RETURN

```

```

5000 REM "METHODE DE NEWTON"
5010 DIM Sr(10),Ds(100),Dd(10),S(10),U(10),Pp(100),Dc(10)
5020 DIM Y(900),B(10),A(10),C(10),Ys1(100)
5030 N=10
5040 FOR I=1 TO N
5050   B(I)=Y(90*I)
5060 NEXT I
5070 A(1)=B(1)
5080 FOR Q=2 TO N
5090   FOR I=1 TO N-Q+1
5100     B(I)=(B(I+1)-B(I))/(I+Q-1-I)
5110   NEXT I
5120   A(Q)=B(1)
5130 NEXT Q
5140 S(1)=A(1)
5150 U(1)=1
5160 FOR T=0.1 TO N STEP 0.1
5170   FOR I=2 TO N
5180     U(I)=U(I-1)*(T-(I-1))
5190     S(I)=S(I-1)+A(I)*U(I)
5200   NEXT I
5210 Pp(T*10)=S(N)
5220 NEXT T
5230 FOR K=0.1 TO N STEP 0.1
5240   Dc(1)=0
5250   C(1)=1
5260   Dd(1)=0
5270   Sn(1)=0
5280   FOR I=2 TO N
5290     C(I)=C(I-1)*(K-(I-1))
5300     Dc(I)=Dc(I-1)*(K-(I-1))+C(I-1)
5310     Dd(I)=Dd(I-1)*(K-(I-1))+Dc(I-1)
5320     Sr(I)=Sn(I-1)+A(I)*Dd(I)
5330   NEXT I
5340   Ds(K*10)=Sr(N)
5350 NEXT K
5360 CALL "MAX",Ds,V7,I
5370 CALL "MIN",Ds,V8,I
5420 Nu=100
5425 Ys1=0
5430 FOR I=20 TO Nu-20
5440   Ys1(I)=Ds(I)
5450 NEXT I
5455 CALL "MAX",Ys1,W5,I
5456 CALL "MIN",Ys1,W6,I
5458 VIEWPORT 85,130,0,45
5460 WINDOW 1,100,W6,W5
5465 AXIS 10,W5/10
5468 CALL "DISP",Ys1
5470 DELETE Sn,Dd,S,U,Dc,A,C,B .

```

17

```
5480 DIM Pe(Nu),Pc(Nu)
5490 CALL "MIN",Ys1,W1,J1
5500 DIM Vw(Nu-J1),Tw(J1)
5510 FOR I=1 TO J1
5520     Tw(I)=Ys1(I)
5530 NEXT I
5540 CALL "MAX",Tw,W2,J2
5550 FOR I=1 TO Nu-J1
5560     Vw(I)=Ys1(I+J1)
5570 NEXT I
5580 CALL "MAX",Vw,W3,J3
5590 Pe(1)=P(1)
5600 Mu=900/Nu
5610 FOR J=2 TO Nu
5620     Pe(J)=P(Mu*(J-1))
5630 NEXT J
5640 FOR K=1 TO Nu
5650     Pc(K)=30*(2*Pe(K)-1)/1000
5660 NEXT K
5670 Pdt=Pc(J3+J1)
5680 Pst=Pc(J2)
5690 Pmt=Pc(J1)
5700 RETURN
```

18

```

599 REM "METHODE DE FOURIER"
600 DIM Bk(3), Sk(3), Yk(34), Yf(34), Ff(3), Af(34), G(34), Fc(34), A(3), B(34)
602 DIM Ys1(34)
610 N=34
615 B(1)=Y(1)
620 FOR I=2 TO N
630     B(I)=Y(26*(I-1)+1)
640 NEXT I
1002 M=3
1010 FOR J=1 TO M
1020     G(1)=B(1)*COS(J*2*PI/N)
1030     Fc(1)=B(1)*SIN(J*2*PI/N)
1040     FOR I=2 TO N
1050         G(I)=B(I)*COS(J*2*PI*I/N)+G(I-1)
1060         Fc(I)=B(I)*SIN(J*I*2*PI/N)+Fc(I-1)
1070     NEXT I
1080     A(J)=G(N)*2/N
1090     Bk(J)=Fc(N)*2/N
1100 NEXT J
1101 Af(1)=B(1)*2/N
1102 FOR I=2 TO N
1103     Af(I)=2/N*B(I)+Af(I-1)
1104 NEXT I
1110 FOR I=1 TO N
1120     Sk(1)=-(A(1)*COS(I*2*PI/N)+Bk(1)*SIN(I*2*PI/N))
1125     Ff(1)=A(1)*COS(I*2*PI/N)+Bk(1)*SIN(I*2*PI/N)
1130     FOR J=2 TO M
1135         Ff(J)=Ff(J-1)+A(J)*COS(J*I*2*PI/N)+Bk(J)*SIN(J*I*2*PI/N)
1140         Sk(J)=+Sk(J-1)-J^2*(A(J)*COS(J*I*2*PI/N)+Bk(J)*SIN(J*I*2*PI/N))
1150     NEXT J
1160     Yk(I)=Sk(M)
1165     Yf(I)=Ff(M)+Af(N)/2
1170 NEXT I
1180 CALL "MAX", Yk, U1, I
1190 CALL "MIN", Yk, U2, I
1200 VIEWPORT 45, 85, 0, 45
1210 WINDOW 0, N, U2, U1
1215 AXIS N/10, -U2/10
1220 CALL "DISP", Yk
1420 Nu=34
1430 FOR I=1 TO Nu
1440     Ys1(I)=Yk(I)
1450 NEXT I
1460 APPEND "DPSDM", 3000, 10
1500 DELETE Yf, Ff, Af, G, Fc, A, B
3000 RETURN

```

```

5001 REM "METHODE DE LAGRANGE"
5002 DELETE 2,4999
5003 DIM Y(900),Y1(34),Ys(34),Ys1(34)
5004 DIM G(34),C(34),Dcn(34),Dp(34),F1(34),Dq(34),Sp(34),Lp(34)
5005 G(1)=1
5006 FOR I=2 TO 34
5007   G(I)=Y(26*(I-1)+1)
5008 NEXT I
5009 GOSUB 5015
5010 FOR I=1 TO 34
5011   G(I)=Lp(I)
5012 NEXT I
5013 GOSUB 5015
5014 GO TO 5050
5015 N=34
5016 FOR Q=1 TO N
5017   C(1)=Q
5018   Dcn(1)=1
5019   FOR I=2 TO N
5020     C(I)=C(I-1)*(Q-(I-1))
5021     Dcn(I)=Dcn(I-1)*(Q-(I-1))+C(I-1)
5022   NEXT I
5023   Dp(Q)=Dcn(N)
5024 NEXT Q
5025 F1(1)=1
5026 FOR I=2 TO N
5027   F1(I)=I*F1(I-1)
5028 NEXT I
5029 FOR Q=1 TO N
5030   IF Q-1=0 THEN 5033
5031   Dq(1)=(Dp(Q)*(Q-1)-C(N))/(Q-1)^2
5032   GO TO 5034
5033   Dq(1)=(Dp(Q)*(Q-1)-C(N))/(Q-0.99)
5034   Sp(1)=-1^(N-2)*G(1)*Dq(1)/(F1(I)*F1(N-1))
5035   FOR I=2 TO N-1
5036     R=Q-I
5037     IF R=0 THEN 5040
5038     Dq(I)=(Dp(Q)*(Q-I)-C(N))/(Q-I)^2
5039     GO TO 5041
5040     Dq(I)=Dq(I-1)
5041     IF N-I-1=0 THEN 5043
5042     GO TO 5045
5043     Sp(I)=-1^(N-I-1)*G(I)*Dq(I)/F1(I)+Sp(I-1)
5044     GO TO 5046
5045     Sp(I)=-1^(N-I-1)*G(I)*Dq(I)/(F1(I)*F1(N-I-1))+Sp(I-1)
5046   NEXT I
5047   Lp(Q)=Sp(N-1)
5048 NEXT Q
5049 RETURN
5050 CALL "MAX",Lp,U1,I

```

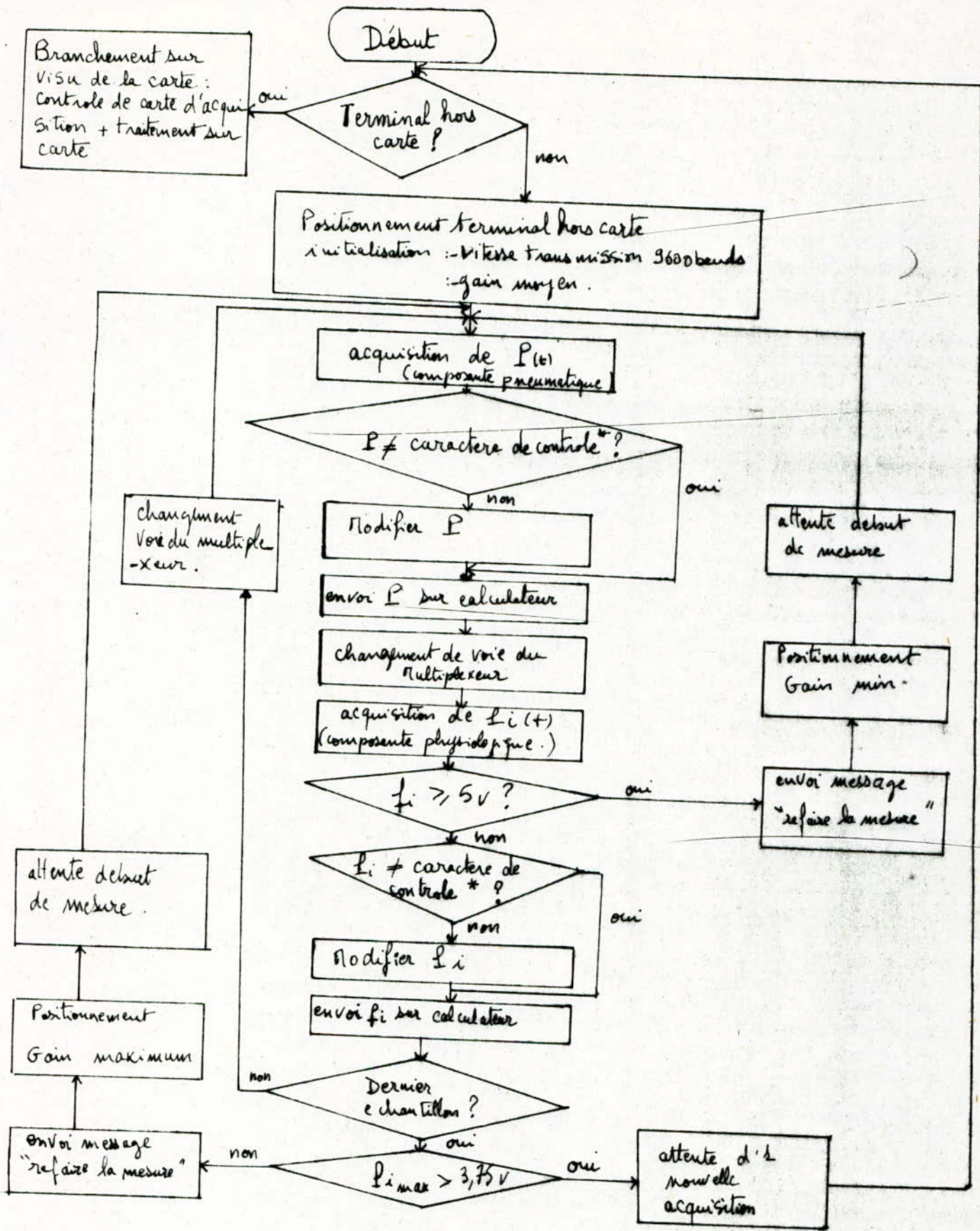
5051 CALL "MIN", Lp, U2, I
5052 VIEWPORT 45, 85, 55, 100
5053 WINDOW 0, N, U2, U1
5054 AXIS N/10, U1/10
5055 CALL "DISP", Lp
5056 CALL "MAX", Y, U3, I
5057 CALL "MIN", Y, U4, I
5058 Nu=34
5059 FOR I=1 TO Nu
5060 Ys1(I)=Lp(I)
5061 NEXT I
5062 DELETE Y1, Ys, G, C, Dcn, Dq, Sp
5063 APPEND "DPsdm", 5065, 10
5064 APPEND "MENU"; 1, 1
5065 RETURN

```
590 REM "METHODE DES APPROXIMATIONS FINIS"
600 DIM G(51),Y1(51),Ys(51),Ys1(51)
601 FOR I=1 TO 51
602   G(I)=Y(17*I)
603 NEXT I
604 Y1(1)=G(1)
605 Y1(2)=G(2)
606 Y1(3)=G(3)
607 Y1(51)=G(51)
608 Y1(50)=G(50)
609 Y1(49)=G(49)
610 FOR J=4 TO 48
611   Y1(J)=(G(J-3)+G(J-2)+G(J-1)+G(J)+G(J+1)+G(J+2)+G(J+3))/7
612 NEXT J
616 Ys(51)=0
617 Ys(50)=0
619 FOR J=1 TO 49
620   Ys(J)=-2*Y1(J+1)+Y1(J)+Y1(J+2)
625 NEXT J
630 Ys1(1)=0
635 Ys1(51)=Ys(51)
668 FOR J=2 TO 50
670   Ys1(J)=(Ys(J-1)+Ys(J)+Ys(J+1))/3
680 NEXT J
716 CALL "MAX",Ys1,V4,I
717 CALL "MIN",Ys1,V3,I
720 VIEWPORT 85,130,55,100
723 WINDOW 0,51,V3,V4
724 AXIS 10,-V3/10
725 MOVE 1,Ys1(1)
730 CALL "DISP",Ys1
740 Nu=51
750 APPEND "DPSDM";760,10
755 DELETE G,Y1,Ys
760 RETURN
```

```
90 REM "ACQUISITION ET TRANSFERT DE DONNEES"
100 INIT
110 PAGE
120 DIM A(1800),P(900),Fi(900)
130 PRINT @40;"Z"
140 FOR I=1 TO 1800
150 INPUT @40:A$
160 A(I)=ASC(A$)
170 INPUT @40:B$
180 IF B$="#" THEN 200
190 A(I)=A(I)+128
200 A(I)=A(I)*20
210 NEXT I
220 FOR J=1 TO 1799 STEP 2
230 D=(J+1)/2
240 P(D)=A(J)
250 NEXT J
255 P(2)=P(1)
256 P(3)=P(1)
260 FOR K=2 TO 1800
270 D=K/2
280 Fi(D)=A(K)
290 NEXT K
300 VIEWPORT 0,130,0,50
310 CALL "MAX",P,V,R
320 WINDOW 1,900,0,V
330 AXIS 100,V/10
340 CALL "DISP",P
350 VIEWPORT 1,130,55,100
360 CALL "MAX",Fi,V1,G
370 WINDOW 1,900,0,V1
380 AXIS 100,V1/10
390 CALL "DISP",Fi
400 CALL "USERLIB","DATA"
410 PRINT "NOM/ ?"
420 INPUT N$
430 PRINT "PRESSION SYSTOLIQUE"
440 INPUT Ps
450 PRINT "PRESSION DIASTOLIQUE"
460 INPUT Pd
462 PRINT "PM"
464 INPUT Vm
470 CREATE N$;2500,0
480 CALL "USERLIB",N$
490 CREATE "FI";1200,0
500 CREATE "P";1200,0
510 CREATE "PSDM";100,0
520 OPEN "FI";1,"U",A$
```

```
530 WRITE #1:Fi
540 CLOSE 1
550 OPEN "P";1,"U",A$
560 WRITE #1:P
570 CLOSE 1
580 OPEN "PSDM";1,"U",A$
590 WRITE #1:Ps,Pd,Vm
600 CLOSE 1
610 CALL "USERLIB","DATA"
```

```
1 REM "DETERMINATION DE PS,PM,PD"
10 DIM Pe(Nu),Pc(Nu)
20 CALL "MIN",Ys1,W1,J1
25 DIM Vw(Nu-J1),Tw(J1)
30 FOR I=1 TO J1
32 Tw(I)=Ys1(I)
34 NEXT I
35 CALL "MAX",Tw,W2,J2
40 FOR I=1 TO Nu-J1
45 Vw(I)=Ys1(I+J1)
50 NEXT I
60 CALL "MAX",Vw,W3,J3
90 Pe(1)=P(1)
95 Mu=900/Nu
100 FOR J=2 TO Nu
110 Pe(J)=P(Mu*(J-1))
120 NEXT J
130 FOR K=1 TO Nu
140 Pc(K)=30*(2*Pe(K)-1)/1000
150 NEXT K
160 Pdt=Pc(J3+J1)
170 Pst=Pc(J2)
180 Pmt=Pc(J1)
190 RETURN
```



Organigramme du programme de contrôle de la carte d'acquisition
du signal physiologique

Programme de contrôle général
de la chaîne d'acquisition

PG LI 12, > 24
 LDCR 1, 3
 B * 11 } Positionnement du gain

PTP LI 12, > 20
 LDCR 1, 2
 B * 11 } Multiplexage

Cv NOVB 1, 0 > 1C38
 J TB 5
 SEQ J
 NOVB 0 > 1C38, 0 > 350
 B * 11 } Conversion et sauvegarde
 dans l'adresse mémoire
 0 > 350.

TENP DEC 1
 JNE TENP
 B * 11 } Temporisation

TEST1 NOVB 0 > 350, 1
 CB 1, 4
 JL Y
 NOVB 1, 4
 CI 4, > FF00
 JNE Y
 INC 9
 CI 9, 2 } Test si fil(t) durant l'acquisition
 ne dépasse pas 5 V

LI 12, > 24

LCR 1, 3

XOP @CH, 14

XOP @>3014, 12

JNP @DB

Y B * 11

Si $f_{(t)}$ est supérieure à 5 Volts
→ branchement : on change
de gain en positionnant
le gain min, refaire la
mesure.

TR1 MovB @>350, 0

Mov 11, 10

BL @TR

SLA 0, 1

JNC L₁

MovB @>308C, 0

BL @TR

JNP L₂

L₁ MovB @>3016, 2

BL @TR

L₂ Mov 10, 11

B * 11

Transmission du mot sur
8 bits en 2 caractères ASCII
l'un pour 7 bits de poids faible
l'autre pour l'état du 8^e bit

TR LI 12, > 800

Mov 0, 3

ANDI 3, >FOO

CI 3, >FOO

JNE LP₁

AI 0, >100

JNP LP₂

LP₁ CI 3, >FOO

TNF LP₂

Vérification : le caractère envoyé
est différent de : "CR", "BEL",
sinon on le modifie en lui
ajoutant 1.

JNP L_{P2}

L_{P3} CI 3,>500

JNE L_{P2}

AI 0,>100

L_{P2} LDCR 0,8

LI 8,>100

L_{P4} DEC 8

JNE L_{P4}

L_{P5} TR22

JNE L_{P5}

LDCR @>3014,8

B * 11

TEST CI 5,>B900

CB 4,5

JH X

LI 1,04,00

LI 12,>24,

LDCR 1,3

XOP @CI+,14

XOP @>3014,12

JNP @DB

X B * 11

} test si la valeur max de filtre est supérieure à 3,75V
- si non on refait la mesure avec un gain max

UT SR0 31

LI 12,>800

LDCR @>306B,8

SR7 13

} ponctionnement de la vitesse de transmission.

CH DATA > 5354

> 4F50

> 0000

TER DATA > 0D0A

544S

5L4D

494F

414C

0000

LW BSS39

LWPI LW

TDB CLR 2

CLR 4

CLR 7

CLR 9

XOP @TER, 14

XOP 7, 13

CI 7, 4F

JNE @FIN

CLR @>36

→ terminal hors carte

LI 1,>1A

→ vitens transmission 9600 bands

BL @VT

LI 1,>100

BL @PG

DB XOP 6, 13

L LI 1,>100

BL @NTP

BL @TR₁

LI 1,

BL @TEMP

LI 1,>200

BL @NTP

BL @CV

BL @TEST₁

BL @TR

LI 1,

BL @TEMP

INC 2

CI 2,900

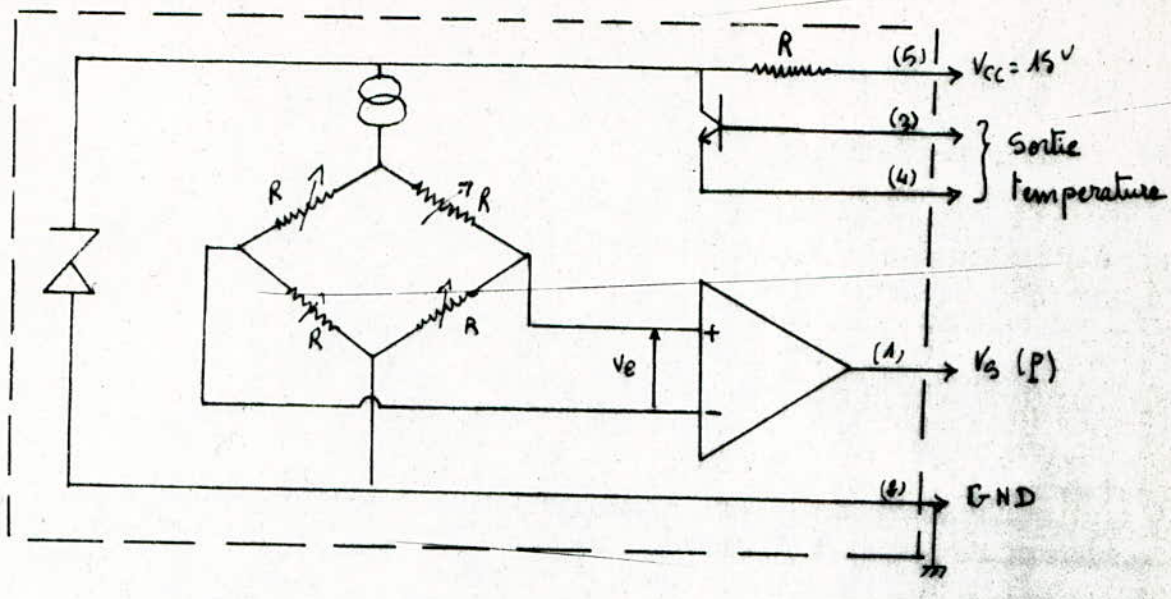
SNE L

BL @TEST₂

FIN NOV 9,9

JNL TDB

Constitution interne du Lx1601 G (capteur de pression)

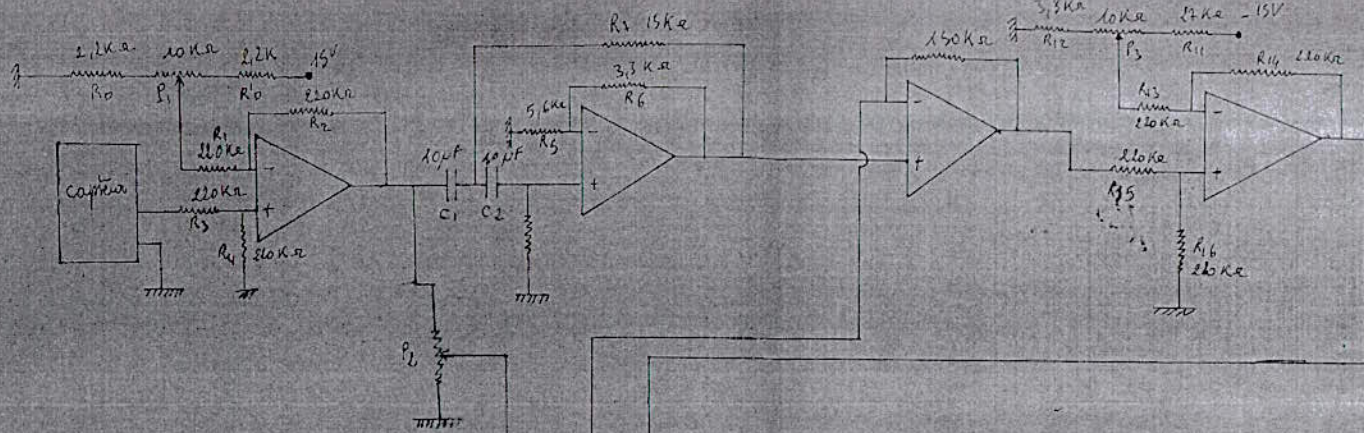


mnemonique	PIN	Direction	action
GND	1	non applicable	élimination parasites
R DATA	2	Sort du terminal	Transfert données à partir du terminal
R DATA	3	allant au terminal	amène les données au terminal
RTS	4	partant du terminal	demande permission de transmettre.
CTS	5	va au terminal	demande permission au terminal de transmettre
DSR	6	va au terminal	indique communication établie
SGND	7	non applicable	masse commune.
DCD	8	va au terminal	indique qu'il y a porteur est présent.
DTR	20	partant du terminal	indique le terminal est pris.

tableau 1

- B I B L I O G R A P H I E -
=====

- [1] Séminologie de l'appareil cardiovasculaire.
Service médecine interne et hématologique CHU Rouiba.
Professeur HAMADJI. RM.
- [2] Thèse magister.
Contribution à l'étude et à la réalisation d'un tensiomètre automatique.
Acquisition traitement analogique et étude mathématique du signal de la pression artérielle.
réalisé par Mme. IBTIOUNEN.
- [3] Thèse ingénierat : mise au point d'une chaîne d'acquisition et de traitement à base de l'oscilloscope TEK 468.
~~étudiée par M. Perronou et M. Bellouf~~
- [4] Le filtrage actif et techniques numériques,
par M. Auniaux.
Ed. Masson.
- [5] Carte Texas 9980
par H. Begone.
- [6] Programmation du TMS 9901
TEXAS - INSTRUMENTS.
- [7] Thèse ingénierat ~~étudiée par R. Sodoun et N. Souag.~~
Etude et réalisation d'un interface entre des signaux physiologiques pris traités et la carte TM 990/189.
JANVIER 83.
- [8] Filtrage et ses applications.
M. Labarrère.
Ed. CEPA DUES Mai 82
- [9] Recueil d'exercices et de problèmes d'analyse mathématique.
Sous direction de :
B. DEMIDOVITCH.
Ed. MIR-MOSCOU [77]
- [10] Cours d'analyse numérique.
G. Charet.
SEDES-Informatique [75]
- [11] Eléments de calcul numérique.
B- DEMIDOVITCH et J-MARON.
Ed. MIR-MOSCOU [79]
- [12] Techniques numériques appliquées au calcul scientifique.
par J.P. Pelletier [71]
Ed. MASSON.
- [13] Eléments de mathématiques modernes..
Analyse numérique.
Claude CARASSO.
Ed. Vuibert. [71]



connecteur P3

